

ผลงานวิชาการอันดับที่ 2

ประกอบคำขอประเมินผลงาน

ของ

นายธีระยศ กอบอาษา

นักวิชาการสาธารณสุขชำนาญการ

เรื่อง

การจำแนกเชื้อชนิด *Brugia malayi* จากไมโครฟิลารีย์ในแมวที่จังหวัดนราธิวาส

(Identification of *Brugia malayi*-like Microfilariae in Naturally-infected Cats

from Narathiwat Province, Southern Thailand)

การจำแนกเชื้อชนิด *Brugia malayi* จากไมโครพิลารีย์ในແນວທີ່ຈັງຫວັດນະຣາຊີວາສ

ธีระยศ กอบจายา¹, สุวิช ธรรมป่าโล¹, สราฐ สุวรรณทัพพะ¹,
เอมอร อมิสมบูรณ์², สุมาศ ลอยเมฆ¹, สมใจ ถึงสิ่งสวัสด³,
เวช ชูโชติ⁴

¹สำนักโรคติดต่อนำโดยแมลง กรมควบคุมโรค กระทรวงสาธารณสุข ถนนทบูรี

²แผนกพยาธิวิทยา คณะแพทยศาสตร์ โรงพยาบาลศิริราช มหาวิทยาลัยมหิดล

³แผนกกีฏวิทยาการแพทย์ ภาควิชาเวชศาสตร์เขตร้อน มหาวิทยาลัยมหิดล

⁴ภาควิชาเวชศาสตร์เขตร้อน มหาวิทยาลัยมหิดล เชียงใหม่

บทคัดย่อ

ในโครงการพิลารีจากແນວທີ່ຕິດເຂື້ອໃນຮຽນชาຕີຈຳນານວນ 21 ຕັ້ງ ตรวจພບວ່າເປັນເຂື້ອชนิด *Brugia malayi* ຈາກການຈຳແນກໜິດຄົວຍົວື໌ Microfilarial mirphometry ແລະ ດຽວຫາຕຳແໜ່ງທີ່ມີ acid phosphatase ພບວ່າ ຀່າແນລື່ຍຄວາມຍາວຂອງ Innenkorper $28.56 \pm 6.08 \mu\text{m}$ ແລະ ທີ່ຕຳແໜ່ງ excretory vesicles, anal vesicles, plasmid ທີ່ມີຄວາມໜານແນ່ນເອນໄໝນ acid phosphatase ສອດຄລູ້ງກັບລັກນະພະທີ່ມີຂອງໃນໂຄຣຟິລາເຮົານິດ *Brugia malayi* ພາກາຮົກສຶກນຳວ່າແນວເປັນສັດວັຮງໂຄເທົ່າໜັງນິດ *B. malayi* ທີ່ສຳຄັນຂອງຈັງຫວັດນະຣາຊີວາສ ຈຶ່ງອຸ່ງກາກໄດ້ຂອງປະເທດໄກ

**Identification of *Brugia malayi*-like
Microfilariae in Naturally-infected Cats from
Narathiwat Province, Southern Thailand**

**Theerayot Kobasa¹, Suwich Thammapalo¹, Saravudh Suvannadabba¹,
Ameon Armesombun², Sumart Loymak¹, Somjai Leemingsawat³,
Wej Choochote⁴**

¹Bureau of Vector-borne Disease, Disease Control Department, Ministry of Public Health, Nonthaburi 11000, Thailand, ³Department of pathology, Faculty of Medicine, Siriraj Hospital, Mahidol University, Bangkok 10700, Thailand, ³Department of Medical Entomology, Faculty of Tropical Medicine, Mahidol University, Chiang Mai 50200, Thailand

Abstract

Brugia malayi-like microfilariae from 21 naturally infected cats were identified by microfilarial morphometric and acid phosphatase activity. The results revealed that the average innenkorper length of $28.56 \pm 6.08 \mu\text{m}$ and phasmids were compatible with *B. malayi* microfilariae, thus emphasizing the important role of cats as a reservoir host of *B. malayi* in Narathiwat province, southern Thailand.

กิตติกรรมประกาศ

การศึกษานี้ประสบความสำเร็จเพราะได้รับความร่วมมืออย่างดีเยี่งจากเจ้าหน้าท้องปฏิบัติการแผนกพยาธิวิทยา คณะแพทยศาสตร์ โรงพยาบาลศิริราช มหาวิทยาลัยมหิดล แผนกภูมิวิทยาการแพทย์ ภาควิชาเวชศาสตร์เขตกรุง มหาวิทยาลัยมหิดล และภาควิชาเวชศาสตร์เขตกรุง มหาวิทยาลัยมหิดล เชียงใหม่

สารบัญ

	หน้า
บทคัดย่อภาษาไทย.....	ก
บทคัดย่อภาษาอังกฤษ.....	ข
กิตติกรรมประกาศ.....	ค
สารบัญ.....	ง
สารบัญตาราง.....	ง
สารบัญภาพ.....	ฉ
คำย่อ.....	ช
บทที่ 1 ความสำคัญและที่มาของปัญหา.....	1
บทที่ 2 ทบทวนวรรณกรรม.....	3
บทที่ 3 วิธีดำเนินการวิจัย.....	19
บทที่ 4 ผลการทดลอง.....	26
บทที่ 5 วิจารณ์ผลการทดลอง.....	31
บทที่ 6 สรุปผลการศึกษาและขอเสนอแนะ.....	34
เอกสารอ้างอิง.....	35
ภาคผนวก.....	38

สารบัญตาราง

	หน้าที่
ตารางที่ 1 อัตราการตรวจพบเชื้อ <i>Brugia malayi</i> ในคน น.ส. สุไหงปาดี น.ส. ภูโขี้ อ.สุไหงปาดี จ.นราธิวาส ปี พศ. 2540-2546	2
ตารางที่ 2 การกระจายของผู้ป่วยโรคแท้อาช้างคนไทย รายเขต ปี 2546	6
ตารางที่ 3 จังหวัดที่พบผู้ป่วยโรคแท้อาช้างคนไทย ปี 2546	6
ตารางที่ 4 การตรวจพบหนองบานพยาธิฟิลารียในสุนัขและแมว	8
ตารางที่ 5 การวินิจฉัยพยาธิโรคแท้อาช้างในโลหิต (ในโครงฟิลารีย) ที่พบในประเทศไทย โดยการข้อมูลสิ่นซ่า	15
ตารางที่ 6 การศึกษารังโรคในสัตว์ในประเทศไทยและประเทศไทย	16
ตารางที่ 7 ข้อแตกต่างระหว่างพยาธิในโครงฟิลารีย ชนิด <i>Brugia pahangi</i> <i>B. malayi</i> sub periodic โดยวิธีข้อมูลสี Innenkorper (วัดขนาดเป็นไมครอน : μm)	23
ตารางที่ 8 ผลการเจาะเลือดสำรวมแมวในพื้นที่จังหวัดนราธิวาส ปี พ.ศ. 2546	26
ตารางที่ 9 ผลการติดตามการเจาะเลือดสำรวมแมว <i>Brugia</i> spp. positive ในพื้นที่ จังหวัดนราธิวาส ปี พ.ศ. 2547	27
ตารางที่ 10 ผลการวัดค่าบิวิช morphometric ในโครงฟิลารียจากแมวที่ติดเชื้อฟิลารีย ในธรรมชาติที่จังหวัดนราธิวาส	27
ตารางที่ 11 การข้อมูล acid phosphatase ในโครงฟิลารียจากแมวที่ติดเชื้อฟิลารีย ในธรรมชาติที่จังหวัดนราธิวาส	30

สารบัญภาพ

	หน้าที่
ภาพที่ 1 แผนที่ระบบวิทยาโรคเท้าช้าง; WHO 2000	4
ภาพที่ 2 ความสัมพันธ์ของอัตราการพบไข้โครพีลารีบ การพิการถาวร โรคเท้าช้าง กับอายุของผู้ป่วย	5
ภาพที่ 3 วงจรชีวิตพยาธิโรคเท้าช้างในสุนัขและแมว	8
ภาพที่ 4 Periodic type (ชนิดการปรากฏตัว)	10
ภาพที่ 5 แสดงช่วงเวลาการปรากฏตัวของไข้โครพีลารีบชนิด <i>B. malayi</i> ของแมว จังหวัดนราธิวาส สุราษฎร์ธานี โดยเปรียบเทียบเป็นร้อยละ กับความหนาแน่นของเชื้อในช่วงเวลาการปรากฏตัวของเชื้อสูงสุด	11
ภาพที่ 6 ลักษณะในโครพีลารีบของพยาธิโรคเท้าช้าง	13
ภาพที่ 7 ใบหูแมว	20
ภาพที่ 8 ชี้ตำแหน่งเส้นเลือดในหูของแมว	20
ภาพที่ 9 การจับแมว	21
ภาพที่ 10 ทำความสะอาดหูแมว	21
ภาพที่ 11 การเตรียมเข็มเจาะเลือดแมว	21
ภาพที่ 12 การจับใบหูแมวเพื่อเจาะเลือด	21
ภาพที่ 13 การเจาะเลือดแมว	22
ภาพที่ 14 การบีบเลือดแมว	22
ภาพที่ 15 การหยดเลือดลงสไลด์	22
ภาพที่ 16 ทำความสะอาดหลังเจาะหู	22
ภาพที่ 17 <i>Brugia malayi</i> ป้องค์ด้วย acid phosphatase	24
ภาพที่ 18 <i>Brugia pahungi</i> ป้องค์ด้วย acid phosphatase	25
ภาพที่ 19 <i>Dirofilaria immitis</i> ป้องค์ด้วย acid phosphatase จุดที่ลูกศรชี้ พนเปอน ใช้มี acid phosphatase	31
ภาพที่ 20 <i>Dipelatonomema reconditum</i> ป้องค์ด้วย acid phosphatase จุดที่ลูกศรชี้พนเปอน ใช้มี acid phosphatase	31

คำย่อ

ACP	= Acid phosphatase
°C	= degree Celsius
DNA	= deoxyribonucleic acid
ml	= milliliter
PCR	= polymerase chain reaction
Spp.	=Species
µl	= microlitre
µm	= micrometer
mf	= microfilaria
M	= microfilaria positive
L	= Lymphangitis
E	= Elephantiasis
Ag+	= antigen positive
L1	= Larva stage 1
L2	= Larva stage 2
L3	= Larva stage 3
DEC	= Diethylcarbamazine citrate

บทที่ 1

บทนำ

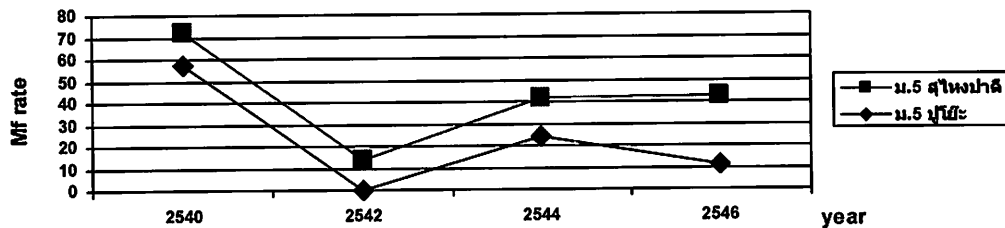
1. ความสำคัญและที่มาของปัจจัย (Background and Rational)

ประเทศไทยมีการระบาดของเชื้อพิษ 2 ชนิด คือ *W. bancrofti* และ *B. malayi* โดยในปี พ.ศ. 2547 พบร่วมกับผู้ป่วยโรคแท้อาช้างคนไทย จำนวน 159 ราย เป็น ผู้ป่วยตรวจพบแอนติเจนเชื้อพยาธิฯ ในโลหิต 25 ราย ผู้ป่วยระยะพร่องเชื้อพยาธิฯ ในโลหิต 125 ราย ผู้ป่วยระยะต่อมน้ำเหลืองอักเสบ 6 ราย และ ผู้ป่วยระยะอวัยวะบวมโต 3 ราย จังหวัดที่พบผู้ป่วยโรคแท้อาช้างคนไทยมากที่สุด คือ จังหวัด Narathiwat คิดเป็นร้อยละ 83.65 รองลงมา จังหวัดตาก ร้อยละ 15.09

จังหวัด Narathiwat เป็นที่ที่มีการระบาดของเชื้อโรคแท้อาช้าง *B. malayi* ในหลายพื้นที่ อัตราการตรวจพบเชื้อคลดลงน้อยมากเมื่อเปรียบเทียบกับพื้นที่อื่นที่มีผลการจ่ายยาภายนอก ครอบคลุมใกล้เคียงกัน ซึ่งมาตรการนี้ที่มีประสิทธิภาพในการตัดวงจรการเกิดโรคแท้อาช้าง มีข้อสันนิษฐานที่อัตราการตรวจเชื้อคลดลง ซึ่งอาจเกิดจากเชื้อ *B. malayi* มีรังโรคในสัตว์ที่ยังไม่มีมาตรฐานควบคุม ซึ่งก็มีรายงานในหลายประเทศที่พบสัตว์ที่เป็นรังโรค เช่น แมว และลิงบางชนิด ในประเทศไทยและเชื้อที่มีการระบาดของเชื้อ *B. malayi* เมื่อนักนัก นักการสำรวจในแนวติดต่อ กันหลายปี พบว่า ส่วนใหญ่เชื้อในแนวคือ *B. pahungi* ซึ่งไม่ก่อให้เกิดโรคในคน แต่ในประเทศไทยมีการสำรวจโรคแท้อาช้างในแนว พบว่า แนวมีเชื้อ *Brugia species* แต่ไม่ได้จำแนกชนิด เชื้อของในโรคพิลารีสที่พบในแนวในทางระบาดวิทยา เนื่องจากในโรคพิลารีของพยาธิของชนิด *B. malayi* และ *B. pahungi* มีลักษณะคล้ายกันมากยากแก่การจำแนก ในปี พ.ศ. 2543 กองกาญจน์ กาญจน์ โภภัส ร่วมกับคณะเวชศาสตร์เขตต้อน มหาวิทยาลัยเชียงใหม่ ได้สุ่มเอาไปโรคพิลารีจากแนวที่พบเชื้อในจังหวัด Narathiwat มาทำการจำแนกชนิดด้วยวิธี Morphometric พบว่าเป็นเชื้อ *B. malayi* และไม่ได้มีการสำรวจเพิ่มเติม ในขณะที่ปัจจัยของการระบาดเชื่อนี้ในพื้นที่ยังมิย่างต่อเนื่อง แม้ว่ากรมควบคุมโรค โดยสำนักงานป้องกันโรคที่ 12 สงขลา ได้ดำเนินการจ่ายยาบำบัดรักษานายูงแก่ประชาชนทุกคนความครอบคลุมมากกว่าร้อยละ 90 หากแต่ยังไม่สามารถลดอัตราการตรวจพบเชื้อในคน ดังตัวอย่างข้อมูลกราฟที่ 1 ของพื้นที่ น.5 ต.ปูโย๊ะ และ น.5 ต.สุไหงปาดี อ.สุไหงปาดี จ. Narathiwat (พ.ศ. 2544 – 2546) อัตราการตรวจพบเชื้อในคนลดลงอย่างช้ามากและในบางปีสูงขึ้น ทั้งที่ความครอบคลุมในการจ่ายยาและอัตราการเจาะเลือดที่สูง ปัจจัยการแพร่เชื้ออาจมาจากแหล่งเชื้อที่ไม่ใช่คน อาจจะมาจากสัตว์รังโรคโดยเฉพาะแมว ที่มีอัตราการตรวจพบเชื้อมากกว่าคนหลายเท่า (ข้อมูลดังกราฟที่ 2) แต่ยังขาดข้อมูลเชิงค่าว่าในโรคพิลารีที่พบในแนวในพื้นที่จากการสำรวจในจำนวนที่เพียงพอสำหรับประมาณการสถานการณ์ระบาดในแนวว่า

เป็นเชื้อ *B.malayi* หรือ *B.pahungi* และขนาดของปัมพาเป็นอย่างไร จำเป็นต้องศึกษาวิธีการจำแนกเชื้อทั้ง 2 ชนิด เพื่อให้ได้ข้อมูลพัฒนาห้องปฏิบัติการ เป็นประโยชน์อย่างยิ่งในการเข้าใจสถานการณ์การระบาดของ โรคแท้ชา้งในพื้นที่ และสามารถวางแผนการควบคุมโรคได้อย่างมีประสิทธิภาพ

ตารางที่ 1 อัตราการตรวจพบเชื้อ *Brugia malayi* ในคน น.5 ต.สุไหงปาดี น.5 ต.ปูโยะ^๒
อ.สุไหงปาดี จ.นราธิวาส ปี พ.ศ. 2540-2546



2. วัตถุประสงค์

- จำแนกชนิดเชื้อของไมโครฟิลารีย์ที่พบในแมวที่จังหวัดนราธิวาสด้วยวิธี Microfilarial morphometric
- จำแนกชนิดเชื้อของไมโครฟิลารีย์ที่พบในแมวที่จังหวัดนราธิวาสด้วยวิธี Acid phosphatase staining
- ความสัมพันธ์ในการแปลผลของการตรวจด้วยวิธี Microfilarial morphometric และ Acid phosphatase staining

3. ขอบเขตการศึกษา

- การใช้วิธี Microfilarial Morphometric และ Acid phosphatase staining มาใช้ในการจำแนกชนิด เชื้อของไมโครฟิลารีย์ที่พบในแมวที่จังหวัดนราธิวาส

บทที่ 2

ทบทวนวรรณกรรม

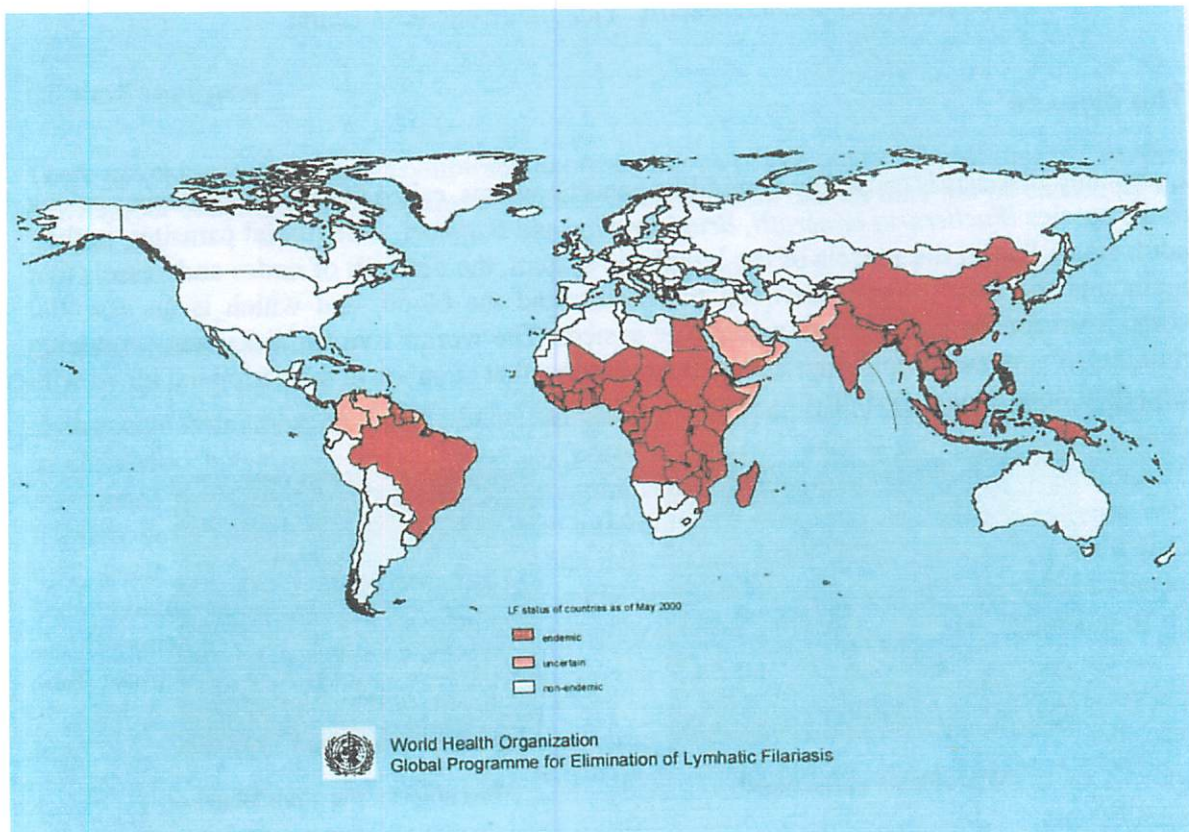
โดยทั่วไปเรามักจะรู้จักโรคเท้าช้างจากอาการ ขานวนโต แต่ก็ว่าที่จะรู้ว่าโรคเท้าช้างคืออะไรนั้น ในอดีตนักวิทยาศาสตร์หลายท่านต้องใช้ความพยายามติดตามสังเกตอย่างต่อเนื่อง เพื่อหาคำตอบ โดยในปี พ.ศ. 2406 Demarquay ได้พบ *microfilaria* ครั้งแรกในของเหลวจากอัณฑะผู้ป่วยที่มารับการผ่าตัดที่ปรีส ส่วนพยาธิตัวแฝงโดย Lewis ในปี พ.ศ. 2420 และในปีเดียวกัน Patrick Manson ได้พบตัวอ่อนพยาธิโรคเท้าช้างในยุง ซึ่ง Manson ได้มีการพิสูจน์ว่าเชื้อโรคเท้าช้างติดต่อได้โดยยุง โดยจับยุงมาขังรวมไว้ในบ้านที่มีผู้ป่วย จนน้ำลายของยุงมาผ่านผิวหนังคนเป็นเวลา 5 วัน พบเชื้อที่ท้องและกล้ามเนื้อ อกและพบว่า เชื้อมีการเจริญเปลี่ยนแปลงรูปร่าง การที่ไม่พบเชื้อในอวัยวะที่เกี่ยวข้องกับการกัดกินเลือดของยุง ทำให้ Manson มีแนวคิดว่ายุงที่กินเลือด ผู้ป่วยแล้วบินไปตายในแหล่งน้ำ จากนั้นเชื้อจะออกมานากราดบุบbling และปะปนอยู่ในน้ำ การติดต่อสู่คนโดยการกินน้ำที่ปนเยื่อ จนกระทั่งในปี พ.ศ. 2443 Thomas Lane Bancroft ได้ทำการทดลองเหมือนกับ Manson แต่เลี้ยงยุงที่มีเชื้อเป็นเวลานาน 12 วัน ได้พบเชื้อพยาธิที่ปูกยุงในส่วนของ probosis ในขณะที่จะมากัดคน จึงสรุปว่าเชื้อพยาธิโรคเท้าช้างติดต่อโดยการถูกยุงที่มีเชื้อกัด จากการที่ Manson พบร่วมกับเชื้อเป็นแมลงสามารถเป็นพาหะนำโรคเท้าช้าง เป็นแรงบันดาลใจให้เกิดการค้นพบโรคติดต่อที่นำโดยแมลงอื่นๆ เช่น Onchocerciasis, Leishmania, Typhus และ Trypanosomiasis เป็นต้น นอกจากนั้น Manson ยังมีงานการศึกษา โรคติดต่อเขตต้อนอิกจันวนมาก เป็นผู้ที่ก่อตั้งสาขาวิชาโรคเขตต้อนที่ London School (พ.ศ. 2435) และเป็นอาจารย์ใหญ่คณครุกของ Society of Tropical Medicine and Hygiene (พ.ศ. 2450) ตลอดเวลา กว่า 30 ปี ที่ Manson ได้เผยแพร่องรรมคิษย์จำนวนมากและได้ถูกยกย่องว่าเป็นบิดาแห่งโรคเขตต้อน (Father of Tropical Medicine) และตั้งชื่อยุงที่เป็นพาหะโรคเท้าช้างว่า *Mansonia spp.*

หนอนพยาธิตัวกลม

โรคเท้าช้าง (Lymphatic filariasis) เกิดจากหนอนพยาธิตัวกลมชนิดหนึ่ง พยาธิโรคเท้าช้างจัดอยู่ใน family *Filaridae* มีรายงานไว้มากกว่า 100 ชนิด ส่วนใหญ่เป็นปรสิตในสัตว์ ซึ่งพยาธิตัวกลมเป็นสิ่งมีชีวิตที่มีความหลากหลายมากกลุ่มหนึ่ง ปัจจุบันการจัดหมวดหมู่ยังไม่สมบูรณ์นัก เพราะยังมีหนอนพยาธิจำนวนมากที่ยังไม่มีการจัดเข้าไว้ในกลุ่มใดกลุ่มหนึ่ง โรคนี้มีชื่อเป็นพาหะนำโรคพบมากในประเทศไทย เนื่องจากแมลงที่นำโรคเท้าช้างมา แม้ว่าโรคเท้าช้างจะเป็นโรคที่ไม่เป็นอันตรายถึงชีวิต แต่พยาธิสภาพที่เกิดในผู้ป่วยจะเรื้อรังทำให้เกิดภาวะทุพพลภาพ และความพิการอย่างถาวร ยากแก่การฟื้นฟูสภาพร่างกายให้เป็น

ปัจจุบันนี้โรคเท้าช้างถูกจัดให้เป็นสาเหตุระดับ 2 ของความพิการและทุพพลภาพถาวร⁽¹⁾ และก่อให้เกิดความสูญเสียด้านสังคมและเศรษฐกิจ เชื้อโรคเท้าช้าง ที่มีรายงานติดต่อถึงคนมีเพียง 9 ชนิดได้แก่

1. *Wuchereria bancrofti* (Cobbold, 1877)
2. *Brugia malayi* (Buckley and Edeson, 1956)
3. *Brugia timori* (Partona et al., 1977)
4. *Loa loa* (Cobbold, 1877)
5. *Onchocerca volvulus* (Leuckart, 1758)
6. *Mansonella ozzardi* (Manson, 1987)
7. *Mansonella perstans*
8. *Mansonella simulacrum*
9. *Mansonella streptocerca* (Macfie and Corson, 1922)

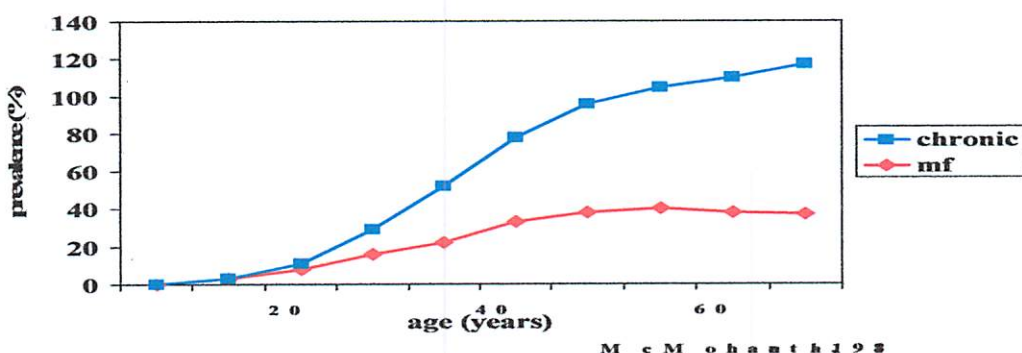


ภาพที่ 1 แผนที่ระบบวิทยาโรคเท้าช้าง; WHO 2000

สถานการณ์โรคเท้าช้างทั่วโลก เกิดจากเชื้อ *W.bancrofti* ร้อยละ 90 และเกิดจากเชื้อ *B. malayi* ร้อยละ 10 ประชากรทั่วโลกร้อยละ 60 อาศัยอยู่ในพื้นที่เดี่ยงต่อการติดโรค ประชากร⁽²⁻³⁾

- 662 ล้านคน เอเชียตะวันออกเฉียงใต้ โดย 3 ใน 4 อยู่ในประเทศไทยเดียว
- 328 ล้านคนในอฟริกา
- 50 ล้านคนในประเทศไทยตะวันออกของเมดิเตอร์เรเนียน
- 49 ล้านคนในแอฟริกาด้านตะวันออก
- 7 ล้านคนในอเมริกา
- อัตราการตรวจพบไม่โครฟิลาเรียและการพบผู้ป่วยจากการเฝ้าระวังมากขึ้นตามจำนวนอายุ ดังภาพที่ 2

ภาพที่ 2 ความสัมพันธ์ของอัตราการพบไม่โครฟิลาเรีย การพิการถาวรจากโรคเท้าช้างกับอายุของผู้ป่วย



ประเทศไทยมีการระบาดของเชื้อเพียง 2 ชนิด คือ *W. bancrofti* และ *B. malayi* ปัจจุบันพบว่ามีผู้ป่วยโรคเท้าช้างคนไทย ปี 2546 มีขึ้นทะเบียน(สะสม) จำนวน 159 ราย เป็นเชื้อชนิด *W. bancrofti* จะพบในจังหวัดที่มีพื้นที่ติดชายแดนไทยพม่า ส่วนเชื้อ *B. malayi* พบมากทางภาคใต้ของประเทศไทย จังหวัดที่พบผู้ป่วยโรคเท้าช้างคนไทยมากที่สุด คือ จังหวัดราชวิถี คิดเป็นร้อยละ 83.65 รองลงมา จังหวัดตาก ร้อยละ 15.09 (ดังตารางที่ 2-3)⁽⁴⁾

สำหรับโครงการกำจัดโรคเท้าช้างซึ่งดำเนินการมาครบ 5 ปี ตั้งแต่ปี 2545-2549 มีจังหวัดที่หนดจ่ายยาตกถ้วน 10 จังหวัด ได้แก่ แม่ฮ่องสอน เชียงใหม่ ตาก ลำพูน กาญจนบุรี ราชบุรี ระนอง สุราษฎร์ธานี ยะลา และ นครศรีธรรมราช เหลือเพียงจังหวัดราชวิถี ที่ต้อง

ดำเนินการจ่ายยารักษาดุณต่อ โดยสำนักงานป้องกันควบคุมโรคที่ 12 และสำนักงานสาธารณสุขจังหวัดนราธิวาส⁽⁵⁾

ตารางที่ 2 การกระจายของผู้ป่วยโรคเท้าช้างคนไทย รายเขต ปี 2546

หน่วยงาน	จำนวนผู้ป่วย	ร้อยละ	อัตราความชุกต่อแสนประชากร
ศคร.9	24	15.09	0.70
ศคร.11	2	1.26	0.05
ศคร.12	133	83.65	2.97
รวม	159	100	0.32

ตารางที่ 3 จังหวัดที่พบผู้ป่วยโรคเท้าช้างคนไทย ปี 2546

อันดับที่	เขต	จังหวัด	ผู้ป่วยระยะ				รวม	อัตราความชุกต่อแสนประชากร
			Ag+	M	L	E		
1	12	นราธิวาส	0	124	6	3	133	18.99
2	9	ตาก	24	0	0	0	24	4.60
3	11	สุราษฎร์ธานี	0	1	0	1	2	0.21
รวม			24	125	6	4	159	0.32

M = ผู้ป่วยระยะแพร่เชื้อพยาธิในโลหิต

L = ผู้ป่วยระยะต่อมน้ำเหลืองอักเสบ

E = ผู้ป่วยระยะอวัยวะบวมโต

Ag+ = ผู้ป่วยตรวจพบแอนติเจนเชื้อพยาธิในโลหิต

วงจรชีวิตของพยาธิโรคเท้าช้าง (Life Cycle)

วงจรชีวิตของพยาธิโรคเท้าช้าง ทั้ง 2 ชนิด คล้ายกัน โดยแบ่งเป็น 2 ระยะคือ ระยะในมนุษย์และระยะในคน

1. ระยะในมนุษย์

เริ่มจากยุงพาหะไปกัดคนที่มีเชื้อพยาธิในโครฟิลารีบ (microfilara, mf) และดูดเลือดที่มี mf เข้าสู่ตัวของ mf จะผ่านเข้าสู่กระเพาะยุง และสัծปลอกหุ้มลำตัว (sheath) แล้วใช้หลักกระเพาะของยุงเคลื่อนตัวไปสู่กล้ามเนื้อบริเวณส่วนอก มีการลอกคราบครั้งที่ 1 เปลี่ยนแปลงรูปร่างให้อวบน้ำ สันคล้ายไส้กรอก (Sausage shape) โดยส่วนปลายด้านหนึ่งมีหางเรียวย郁闷ยื่นออกมาเรียกว่าระบบชั้น คัลลี่ (caly) ระยะนี้มีการเคลื่อนไหวน้อย หลังจากนั้น L1 จะลอกคราบครั้งที่ 2 เปลี่ยนเป็นตัวอ่อนระยะที่ 2 (L2) หรือตัวอ่อนระยะก่อนติดต่อ (Pre-infective larvae) ซึ่งจะมีรูปร่างที่ยาวขึ้น มีหางสันและจะพบตุ่ม (papillae) ยื่นออกมาบริเวณปลายหาง 1-2 อัน ระยะ L2 นี้อาจมีการเคลื่อนไหวมากขึ้นเล็กน้อยหลังจากนั้นจะลอกคราบครั้งที่ 3 เปลี่ยนเป็นตัวอ่อนระยะที่ 3 (L3) หรือตัวอ่อนระยะติดต่อ (Infective larva) ซึ่งมีรูปร่างยาวขึ้น มีการเคลื่อนไหวไปสู่ปากยุง

W. bancrofti ใช้เวลาเปลี่ยนแปลงรูปร่างจาก microfilaria จะเป็น L3 นาน 10-14 วัน

B. malayi ใช้เวลาเปลี่ยนแปลงรูปร่างจาก microfilaria จะเป็น L3 นาน 7-14 วัน

ระยะเวลาตั้งแต่ mf เข้าสู่ร่างกายคนและเจริญ เป็นตัวอ่อนระยะที่ 3 ขึ้นอยู่กับชนิดของเชื้อพยาธิ และอุณหภูมิ ถ้าอุณหภูมิเหมาะสมก็จะเจริญเป็นตัวอ่อนระยะที่ 3 ได้เร็วขึ้น

2. ระยะในคน

เมื่อยุงพาหะที่มีตัวอ่อนระยะที่ 3 มา กัดคน ตัวอ่อนระยะที่ 3 จะออกมายากส่วนปากของยุง (proboscis) และตอกอยู่บริเวณผิวนังของคนที่ถูกกัด ตัวอ่อนระยะที่ 3 จะรับเคลื่อนมาบริเวณแพลงท์ยุงกัด และใช้ผ่านรอยแพลงน้ำเข้าสู่ระบบหลอดเลือดและมีการเจริญเป็นตัวอ่อนระยะที่ 4 (L4) และตัวเต็มวัย (young adult) บางตัวரานเรียก L5 และตัวแก่ (adult) ตามลำดับ พยาธิตัวแก่เพศผู้และเพศเมียจะมีการผสมพันธุ์แล้วพยาธิตัวเมียจะปล่อย mf เข้าสู่ระบบไหลเวียนโลหิตของคน

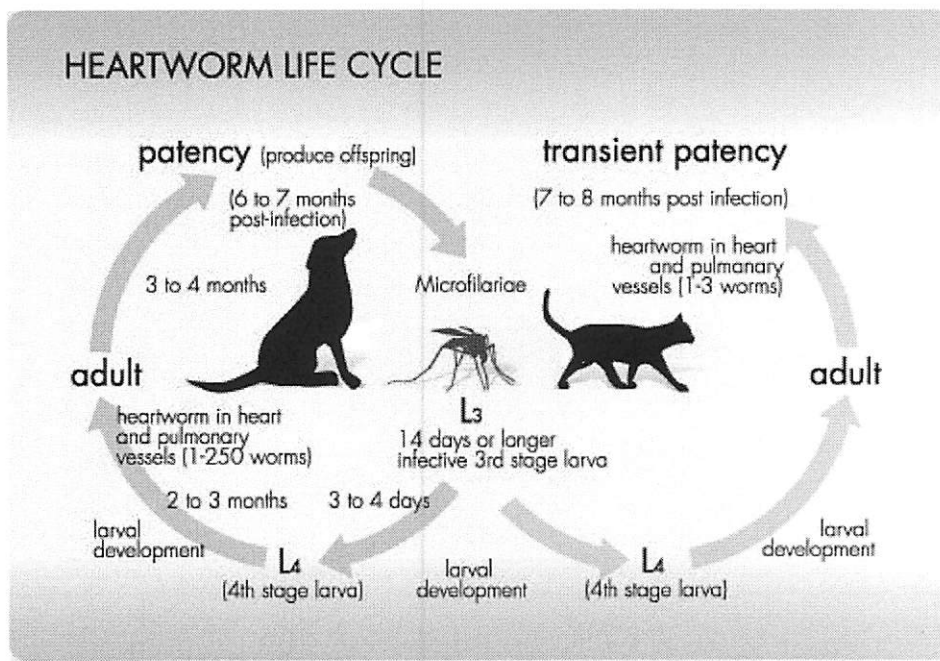
ระยะเวลาตั้งแต่ตัวอ่อนระยะที่ 3 เข้าสู่ร่างกายคนจนสามารถตรวจ mf ในกระแสโลหิตได้เรียก (pre-patent period) ในพยาธิชนิด *Brugia spp.* จะใช้เวลาประมาณ 3-6 เดือน และในพยาธิชนิด *W. bancrofti* จะใช้เวลาประมาณ 9-12 เดือน ส่วนอายุของ mf โดยทั่วไปจะมีอายุประมาณ 6-12 เดือน พยาธิตัวแก่มีอายุประมาณ 5-10 ปี เศษมีรายงานพบสูงสุดถึง 40 ปี

ตัวอ่อนพยาธิเท้าช้าง : ระหว่างที่หนอนพยาธิเจริญเติบโตตัวอ่อนจะมีการลอกคราบ 4 ครั้ง ก่อนที่จะเจริญเป็นตัวเต็มวัย ทุกครั้งมีการลอกคราบผนังลำตัวใหม่จะถูกสร้างขึ้นมาแทนที่ผนังลำตัวเก่าพร้อมกับการเปลี่ยนแปลงรูปร่างของตัวอ่อน ตัวอ่อนของพยาธิเท้าช้างแบ่งออกเป็น 4 ระยะ ตัวอ่อนระยะที่ 4 จะลอกคราบเป็นครั้งสุดท้ายเพื่อเจริญเป็นตัวเต็มวัยและสร้างไข่

วงจรชีวิตพยาธิโรคเท้าช้างในแมว

ยุงพาหะที่มีพยาธิโรคเท้าช้างตัวอ่อนระยะที่ 3 ตัวอ่อนระยะที่ 3 เคลื่อนที่ไปเส้นเลือด arteries ที่ปอด และเจริญเติบโตจนเป็นตัวแก่ และแพร่พันธุ์ปล่อยในโครฟิลารีบออกสู่กระแสโลหิต รออยู่มารับไปเพื่อคำรงวงจรชีวิต นับระยะเวลาตั้งแต่แมวรับเชื้อรูปแบบต่อจันสามารถตรวจ

พนไม่โครฟิลารีบใช้เวลาประมาณ 7-8 เดือน ไม่มีรายงานว่าระยะเวลาที่แมวสามารถแพร่โรค (ระยะเวลาที่แมวนี้ไม่โครฟิลารีบ) และมีรายงานในสุนัขว่าสามารถตรวจพบไม่โครฟิลารีบในสุนัขที่ติดเชื้อเป็นเวลานาน 5-8 เดือน มีรายงานการเก็บข้อมูลแมวจำนวน 9 ตัว ที่ได้รับการถ่ายเลือดจากแมวที่มีไม่โครฟิลารีบในกระแสเลือดพบว่าสามารถตรวจพบไม่โครฟิลารีบในแมวที่ได้รับเลือดตั้งแต่ 2 – 136 วัน⁽⁶⁾ พยาธิโรคเท้าช้างเจริญเติบโตได้ไม่ดีนักในแมวเมื่อเปรียบเทียบกับสุนัข แมวที่ติดเชื้อเพียงประมาณร้อยละ 20 ที่เกิดพยาธิสภาพที่หัวใจและมักเกิดจากเชื้อชนิด *D. immitis*, *D. repens*



©Copyright 2007 | American Heartworm Society
ภาพที่ 3 วงจรชีวิตพยาธิโรคเท้าช้างในสุนัขและแมว

ตารางที่ 4 การตรวจพบหนอนพยาธิฟิลารีบในสุนัขและแมว

Species	Host	Geographical distribution
<i>Acanthocheilonema dracunculoides</i>	Dog	Africa, Asia, Europe
<i>Acanthocheilonema reconditum</i>	Dog	Africa, America, Asia, Europe, Australia
<i>Brugia ceylonensis</i>	Dog, cat	Asia
<i>Brugia malayi</i>	Dog, cat	Asia
<i>Brugia pahangi</i>	Dog, cat	Asia
<i>Brugia patei</i>	Dog, cat	Africa
<i>Cercopithifilaria baineae</i>	Dog	South America
<i>Cercopithifilaria grassii</i>	Dog, cat	Europe
<i>Dirofilaria immitis</i>	Dog, cat	Africa, America, Asia, Europe, Australia
<i>Dirofilaria repens</i>	Dog, cat	Africa, Asia, Europe

โครงสร้างของพยาธิโรคเท้าช้าง

พยาธิโรคเท้าช้าง ตัวแก่จะอาศัยอยู่ในระบบน้ำเหลือง หรือในต่อมน้ำเหลืองและօอกลูกเป็นตัว (ovoviviparous) ซึ่งเมื่อตัวผู้สมพันธุ์กับตัวเมีย ตัวเมียจะออกไข่เมื่อ 30-40x0.25 ไมครอนและเมื่อไข่สุกเต็มที่จะพัฒนาตัวเองขณะที่อยู่ในคลูกอย่างรวดเร็วโดยตัวอ่อนพยาธิจะขนาดใหญ่ แล้วค่อยบีดตัวออกข้าว ส่วนเปลือกไข่ (egg membrane) จะทำหน้าที่เป็น sheath หุ้มลำตัวพยาธิ จะว่ายเข้าสู่กระเพาะโลหิต ต่อไปขนาดตัวผู้และตัวเมียของพยาธิ *W. bancrofti* จะมีขนาด 25-45x0.1-0.15 มม. และ 80-100 x 0.2-0.3 มม. ตามลำดับ ส่วนตัวผู้และตัวเมียของพยาธิ *B. malayi* จะมีขนาด 13-23 มม. X 130-170 ไมครอน และ 43-55 มม. และ 130x120 ไมครอนตามลำดับ

ผนังลำตัว ผนังภายนอกเรียกว่า cuticle มีความแข็งแรงและยึดหยุ่นเกิดจากโครงสร้างตาข่ายของ collagen และโปรตีน ทำหน้าที่ในการป้องกันการสูญเสิน้ำ การกระบวนการเทือนจากภายนอก และป้องกันลำตัวให้พ้นจากภูมิคุ้มกันและการย่องโดยอนไชม์ของไซส์ต์ ผนังลำตัวเป็น cutical โดยทั่วไปสารต่างๆ ไม่สามารถผ่านเข้าออกได้ ยกเว้นน้ำและสารที่มีโมเลกุลขนาดเล็ก ดังนั้นพยาธิไม่สามารถดูดซึมสารอาหารผ่านลำตัว จำเป็นต้องกินอาหารทางปาก

ระบบทางเดินอาหาร ประกอบด้วยปาก (mouth) ริมฝีปาก (lip) ช่องปาก (buccal cavity) หลอดคอ (pharynx) อาหารจะถูกดูดผ่านปากโดยกล้ามเนื้อที่แข็งแรงของหลอดคอ อาหารจะผ่านมาที่หลอดอาหาร (esophagus) สู่ลำไส้ อาหารที่ถูกย่อยแล้วจะถูกขับออกทางทวารหนัก อาหารของพยาธิเท้าช้างได้แก่โปรตีนในน้ำเหลือง

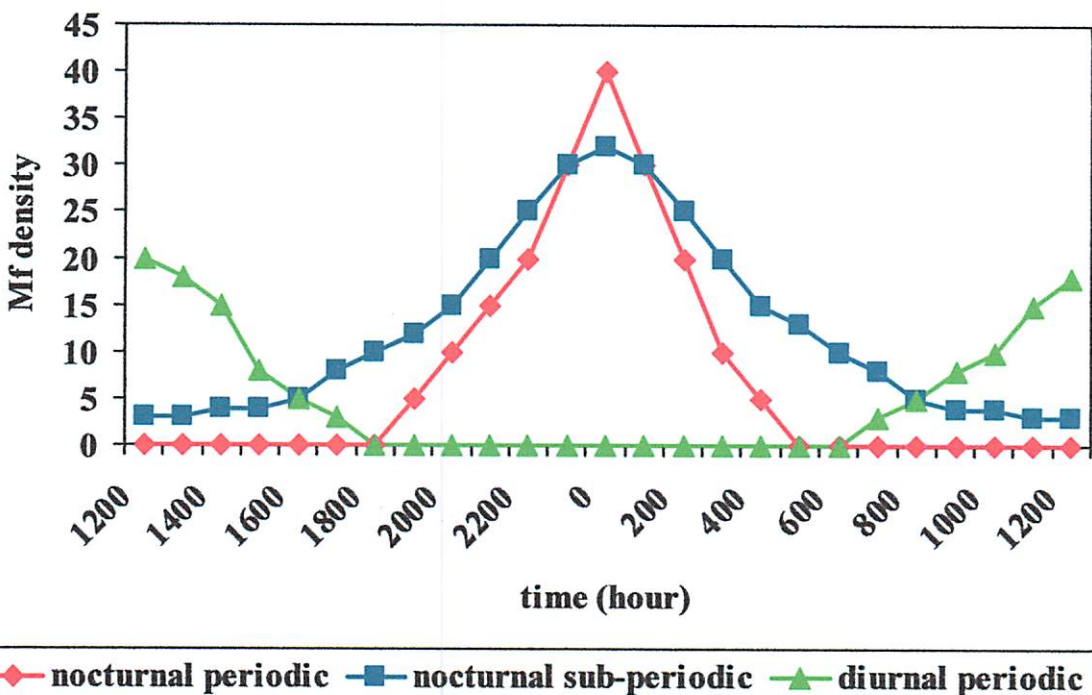
ระบบขับถ่าย ประกอบด้วยเซลล์ขับถ่าย (excretory cell) ทำหน้าที่ในการขับสารละลายและน้ำสู่ท่อขับถ่าย (excretory tube) 2 ห่อ เรียงบนตามแนวยาวของลำตัว มีรูเปิดสู่ภายนอกทางด้านล่าง

ระบบสืบพันธุ์ หนอนพยาธินิรเมศ เพศ แยกกันมีรูปร่างและขนาดแตกต่างกัน อย่างสีบันธุ์เพศ เมียประกอบด้วยรังไข่ลักษณะเป็นถุง 1 ถุง ยาวไปตามลำตัว ท่อน้ำไข่ ถุงรับน้ำเชื้อ อยู่ระหว่างสีบันธุ์ที่อยู่ด้านล่างของลำตัว ส่วนอวัยวะเพศผู้ประกอบด้วย อัณฑะมีลักษณะเป็นสามขาด้านใน ลิปีร์นที่ถูกสร้างขึ้นมาจะถูกนำส่งไปท่อน้ำสเปร์ม

การปรากฏตัวของพยาธิในโครงฟิลารีีย

ในการศึกษาทางระบาดวิทยาของโรคเท้าช้างมีงานที่เป็นส่วนสำคัญสำหรับใช้ในการควบคุมโรคเท้าช้าง ได้แก่ การศึกษาการปรากฏตัวของพยาธิในโครงฟิลารีีย (The periodicity of microfilaria) พยาธิ จะปรากฏตัวในกระแสโลหิตบริเวณผิว (peripheral blood) ในเวลาที่เหมาะสมซึ่งมีทั้งชนิดที่ปรากฏตัวสูงสุดในเวลาใดเวลาหนึ่ง (periodic) กับชนิดที่ปรากฏตัวทั้งกลางคืนและกลางวัน ถ้าช่วงเวลาที่ปรากฏตัวกลางคืนมีค่าสูงกว่ากลางวันเรียก Nocturnally subperiodic ส่วนพยาธิที่ปรากฏตัวกลางวันมี

ค่าสูงกว่ากลางคืนเรียก Diurnally subperiodic การได้ทราบเวลาปรากฏตัวพยาธิฯ จะช่วยให้การสำรวจเจ้าโรคที่ต้องดูถูกต้องและสามารถค้นหาผู้ป่วยได้มากขึ้น



ภาพที่ 4 Periodic Type (ชนิดการปรากฏตัว)

ผลการศึกษาลักษณะ periodic ที่พบในประเทศไทย

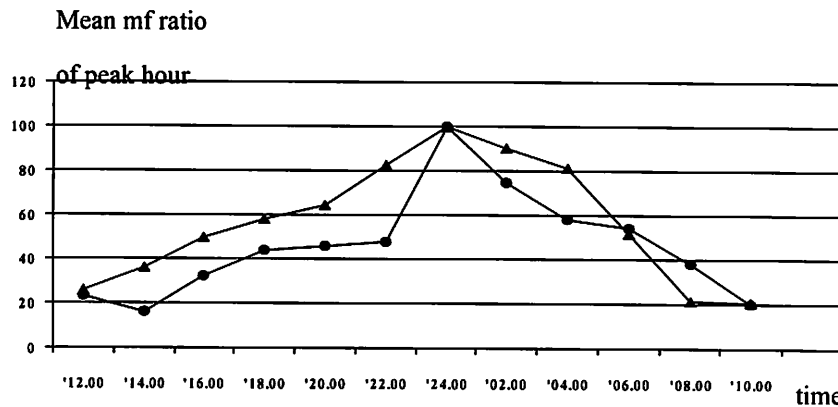
- เชื้อนำเข้าจากพม่าเป็นชนิด Nocturnal periodic *W. bancrofti*
- เชื้อที่พบในคนกระหรี่บางกลุ่มน้ำ จังหวัดกาญจนบุรี Nocturnal subperiodic *W. bancrofti*

- เชื้อที่พบในอำเภอพระแสง จังหวัดสุราษฎร์ธานี Diurnal subperiodic *B. malayi*
- เชื้อที่พบในจังหวัดราชวิถี Nocturnal subperiodic *B. malayi*

การแบ่งลักษณะพื้นที่การเกิดโรค คือ แบบเขตเมือง และชนบท จะคุ้ว่าเชื้อนานาประเทศลักษณะชนบทหรือเขตเมือง ให้พิจารณาจากชนิดของยุงพาหะ เช่น

- เชื้อสายพันธุ์พม่า ชนิด Nocturnal periodic *W. bancrofti* มีบุ่งรำคาญ *Culex quinquefasciatus* เป็นพาหะซึ่งยุงคั้งกล่าวเป็นยุงพาหะในเขตเมือง จึงพิจารณาว่าเชื้อชนิดนี้เป็น rural type (เขตชนบท)

2. เชื้อสายพันธุ์กะหรี่งในเขตแม่ฮ่องสอน หรือ ตำบลล้านหมื่น, แม่น้ำดาด จังหวัด ตาก มีเชิงลักษณะนิด *Aedes niveus group* เป็นพาหะชี้บ่งดังกล่าวเป็นบุญตามคงໄ่ ในป่า จึง พิจารณาว่าเป็นเชื้อชนิด Rural type (เขตชนบท)



ภาพที่ 5 แสดงช่วงเวลาการปรากฏตัวของไข่โรคพิลาเรียชนิด *B. malayi* ของแมว * จังหวัด นราธิวาส● ศรีรายภูร์ธานี โดยเปรียบเทียบเป็นร้อยละกับความหนาแน่นของเชื้อใน ช่วงเวลาการปรากฏตัวของเชื้อสูงสุด

การศึกษาการปรากฏตัวของพยาธิในโรคพิลาเรีย อาจจะทำได้โดยนำผู้ป่วยที่อยู่ในระยะแพร์เชื้อ มาเจาะโลหิตทำฟิล์มโลหิตหนาทุกๆ 2 ชั่วโมงจนครบ 24 ชั่วโมง ข้อมูลฟิล์มเลือด ตรวจนับจำนวนพยาธิ ในแต่ละช่วงเวลาแล้วนำผลที่ได้ไปคำนวณตามสูตร “Modification of the harmonic equation” ตามวิธีของ Aikat และ Das (1976)⁽⁷⁻⁸⁾ ทำให้ทราบลักษณะการปรากฏตัวของพยาธิ อันจะเป็นประโยชน์ต่อการเจาะโลหิต

เหตุผลของการปรากฏตัวของพยาธิในโรคพิลาเรียในกระเพาะโลหิตในเวลาที่แตกต่างกัน

1. ปริมาณออกซิเจน-คาร์บอนไดออกไซด์ในเส้นโลหิตมีระดับแตกต่างกันคือ (The oxygen tension increase steeply และ The carbon dioxide diminishes less steeply) หรือเรียกว่า Oxygen tension (Oxygen barrier) ชี้ง Oxygen จะมีปริมาณลดลงมาที่ระดับ 40 มม. ปรอทในเวลากลางคืนและจะสูงขึ้นถึง ระดับ 55 มม. ปรอทในเวลากลางวัน โดยเฉพาะเมื่อ Oxygen มีค่าต่ำจะช่วยให้พยาธิฯ อกมาสู่กระเพาะโลหิตบริเวณผิวนามากขึ้น

2. พยาธิในโรคพิลาเรียบางชนิดจะไวต่อการเปลี่ยนแปลงของอุณหภูมิในร่างกายที่พยาธิอาศัยอยู่ เช่น พยาธิในโรคพิลาเรียในสัตว์ *Dirofilaria* ในสุนัข ถ้าอุณหภูมิของร่างกายในเวลากลางวันลดลงมาที่ 35 องศาเซลเซียส พยาธิในโรคพิลาเรียจะออกมากจากปอด และถ้าอุณหภูมิของร่างกายในเวลากลางคืน

สูงขึ้นถึง 40 องศาเซลเซียส ซึ่งปกติจะมีอุณหภูมิต่ำ จะมีผลทำให้พยาธิเก็บตัวอยู่ในปอดได้ ดังนั้น เมื่ออุณหภูมิเปลี่ยนแปลงไป 1-2 องศาเซลเซียสมีผลต่อพยาธิไมโครพิลาเรีย

3. พยาธิไมโครพิลาเรียบางชนิดจะมีมากในกระแสโลหิต ในบางฤดูกาล เช่น กรกฎาคม – กันยายน ซึ่งเป็นช่วงที่มีบุญนาค

4. การปรับตัวของ Parasite ต่อ vector

5. การเปลี่ยน cycle ของพยาธิไมโครพิลาเรียไปตามกระบวนการทำงานของคน เช่น การนอนในเวลากลางวันและตื่นในเวลากลางคืน พยาธิฯ จะปรับเปลี่ยนตัวเองให้สอดคล้องกับ 10 – 14 วัน

6. การปรับตัวของพยาธิฯ ในกระแสโลหิตเพื่อให้สอดคล้องกับ Biting cycle ของบุญพาะในบริเวณนั้น

7. เพื่อการดำรงชีวิตให้อยู่รอดสืบพันธุ์ต่อไป พยาธิไมโครพิลาเรียจะต้องพยายามปรากรู้ตัวในกระแสโลหิตบริเวณผิว เพื่อรอดให้ vector นำไปแล้วเปลี่ยนเป็นลาร์瓦ระยะที่ 3 เพื่อรอดให้ infect ใน host รายใหม่ไม่เช่นนั้นพยาธิฯ จะหมดอายุไปเองใน host นั้น ๆ

8. เหตุผลสำคัญและน่าสนใจอีกคือ genetic variation ซึ่งอธิบายของการเปลี่ยนแปลงของยีนส์ที่ควบคุมในร่างกายของ host – parasite มีผลกระทบโดยตรงคือการปรากรู้ตัวของพยาธิฯ ในกระแสโลหิตและการคัดเลือกบุญพาะที่เหมาะสมหรือแม้แต่การปรับตัวของบุญพาะในการเลือกอนรับพยาธิไมโครพิลาเรีย

บุญพาะ

-บุญพาะที่สามารถนำเชื้อ *B.malayi* ในแมวคือ *Mansonia uniformis*⁽⁹⁾

- บุญพาะที่สามารถนำเชื้อ *D.immitis* ในแมวคือ *Aedes albopictus*

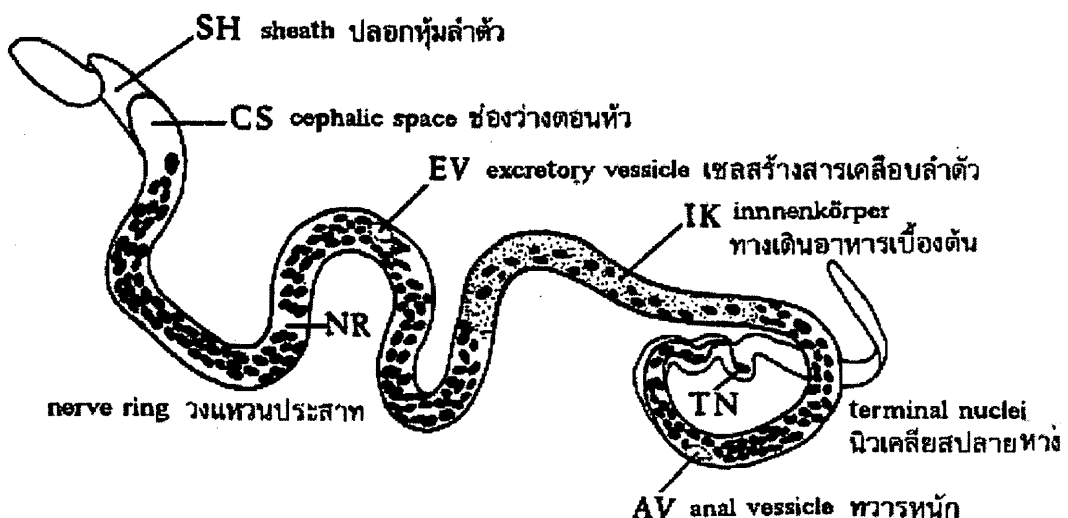
จากรายงานการพับในอิตาลี⁽¹⁰⁾

การตรวจทางห้องปฏิบัติการ มีหลายวิธี แต่ที่นิยมนำมาใช้ในทางปฏิบัติ คือ⁽¹¹⁻¹³⁾

- การตรวจวินิจฉัยจากฟิล์มโลหิต เป็นวิธีที่นิยมใช้มากที่สุด เนื่องจากเป็นวิธีที่ง่าย สะดวก ประหยัด และสามารถจำแนกชนิดพยาธิได้ ซึ่งจำเป็นมากสำหรับพื้นที่ที่มีการติดเชื้อปรสิตมากกว่า 1 ชนิด โดยทั่วไปใช้เจาะโลหิตจากปลายนิ้วในการทำฟิล์มโลหิต และวิจัยนำมาย้อมด้วย Giimsa stain แล้วตรวจผ่านกล้องจุลทรรศน์ การตรวจหาไมโครพิลาเรีย มีความไวและความจำเพาะสูง แต่ความถูกต้องของการตรวจขึ้นอยู่กับช่วงเวลาที่ไมโครพิลาเรียปรากรู้ตัวในกระแสโลหิตในช่วงเวลา 20.00-23.00 น.

รายละเอียดดังตารางที่ 2 และสามารถใช้เลือดจากการเจาะมาทำการตรวจ CBC ได้ หากเจาะช่วงเวลาที่เหมาะสม และฟิล์มโลหิตที่เตรียมต้องฟิล์มโลหิตหนาที่ใช้โลหิตประมาณ 60 ลบ.มม. เพราะการใช้ปริมาตรโลหิตที่น้อยกว่า 60. ลบ.มม. จะทำให้ความถูกต้องของการตรวจลดลง การตรวจวินิจฉัย มีการศึกษาใช้ยา DEC ในผู้มารับการตรวจโรครับประทานเป็นการกระตุ้นในไมโครพิลาเรียให้ออกมาสู่

กระเสโลหิตในเวลากลางวัน (DEC provacative) เพื่อให้สัตว์สามารถเจาะตรวจหาไม่โกรฟิลาเรียในเวลากลางวัน วิธีนี้จะใช้เฉพาะในกรณีที่ผู้มาตรวจไม่สามารถที่จะอยู่รอดเจาะเลือดในเวลากลางคืนได้ โดยทั่วไปไม่นิยมใช้ เพราะผลจากการศึกษาการใช้ยากระตุ้นการป্রากฎตัวของไม่โกรฟิลาเรียในรายที่เชื้อมีความหนาแน่นสูง โอกาสตรวจพบไม่โกรฟิลาเรียร้อยละ 80 ในรายที่มีความหนาแน่นของเชื้อต่ำ โอกาสตรวจพบไม่โกรฟิลาเรียลดลงเหลือเพียงร้อยละ 50 เท่านั้น



ภาพที่ 6 ลักษณะไม่โกรฟิลาเรียของพยาธิโรคเท้าช้าง

ส่วนต่าง ๆ ของพยาธิไม่โกรฟิลาเรีย

- 1. Sheath** เป็นเนื้อเยื่อชนิด Hyaline ใส่ไม่มีสี ความยาวประมาณ 390 ไมครอน หัวท้ายปิด แต่ไม่โกรฟิลาเรียสามารถขับเขี้ยอนตัวไปมาได้ นอกจากนี้ยังทำหน้าที่เปลี่ยนแปลงไปตามการตรวจพบ ไม่พบรอย Sheath เคยใช้ในการแยกข้อแตกต่างระหว่างชนิด Periodic-Subperiodic ของพยาธิ *B. malayi* ส่วน Sheath ของพยาธิ *W. bancrofti* จะเป็นสีชมพูอมม่วง (Pink) หรือ Purplish
- 2. Cuticle** เป็นเนื้อเยื่อของหัวและตัวบาง ๆ พบรอยตัดคลื่นล้ำตัวของพยาธิ
- 3. Cephalic space** เป็นช่องว่างส่วนหัวของพยาธิ บริเวณนี้จะไม่มีนิวเคลียสอยู่ อาจมองเห็น

Stylet มีลักษณะเป็น “ขอ” ซึ่งตัวอ่อนจะใช้เป็นเครื่องช่วยทำให้ตัวหลุดออกมาจากปลอกหุ้มลำตัว (Sheath) ในพยาธิชนิด *B. malayi* อัตราส่วนความกว้าง:ยาว เท่ากับ 1:2 ส่วน *W. bancrofti* มีอัตราส่วนความกว้าง: ยาว เท่ากับ 1:1

- 4. Nuclear column** เป็นกลุ่มนิวนิวเคลียสเรียงตัวตั้งแต่บริเวณ Cephalic space จนถึงหางในพยาธิชนิด *B. malayi* เมื่อย้อมสี吟ช่าจะเห็นนิวนิวเคลียสซ้อนทับกันเป็นสีน้ำเงินเข้ม ส่วน *W. bancrofti* นิวนิวเคลียสจะแยกออกจากกันเป็นเม็ดเดียวของหินชัดเจน
- 5. Nerve ring** เป็นส่วนของกล้ามเนื้อประสาท พาดขาวง่ายตัวซึ่งจะอยู่ห่างจากตอนหัวสุดของพยาธิประมาณ 20% ของความยาวลำตัว เมื่อย้อมสี吟ช่าจะมองเห็นเป็นช่องว่างสีขาวสังเกตได้ชัดเจนเป็นรูขนาดเล็กอยู่ด้าน Nerve ring ลงมาเล็กน้อยประมาณ 30% ของความยาวลำตัวเมื่อย้อมสีจะพบว่าบริเวณนี้จะเว้าแห่งคล้ายอักษร “v” ตะแคงอยู่จึงเรียกว V shaped มองเห็นได้ชัดเจนอาจเรียกได้อีกว่า Anterior v-spot
- 7. Excretory cell** เป็นเซลล์ขนาดใหญ่ที่มีนิวนิวเคลียส ทำหน้าที่สร้างเมือกแล้วปล่อยออกทาง Excretory pore (บริเวณนี้อาจเรียกร่วม ๆ ว่า Excretory vesicle)
- 8. Genital cells** เป็นเซลล์ขนาดใหญ่มีทั้งหมด 4 เซลล์ โดย G1 จะอยู่เหนือ G2 G3 G4 ซึ่ง 3 เซลล์หลังนี้จะอยู่ชิดกันใกล้รูขับถ่าย (anal pore)
- 9. Anal pore** มองเห็นได้ชัดเจนในพยาธิชนิด *B. malayi* มีรูปร่างเว้าคล้ายอักษร (Anal vesicle) “v” เข่นกัน จึงอาจเรียกว่า posterior v-spot ตำแหน่งนี้อยู่ห่างจากส่วนหัวของพยาธิประมาณ 80% ของความยาวลำตัวในพยาธิชนิด *W. bancrofti* จะมองเห็นตำแหน่งนี้ไม่ชัดเจน
- 10. Innenkorper** เป็นอวัยวะภายในลำตัวเมื่อย้อมสี Azur II eosin หรือ Leishmans stain จะติดสีแดงเป็นแถบยาว 1/70 ส่วนของความยาวลำตัวของเห็บได้ชัดเจนในพยาธิชนิด *Brugia spp.* อวัยวะนี้คือท่อทางเดินอาหารเบื้องต้น (rudimentary alimentary canal) อาจเรียกว่า Innerbody ซึ่งเป็นที่รวมของเซลล์สีน้ำพันธุ์เบื้องต้นจำนวน 4 เซลล์ ตัวในพยาธิ *W. bancrofti* จะมองเห็นบริเวณนี้ไม่ชัดเจนและจะไม่พบในพยาธิชนิด *Loa loa*
- 11. Caudal space** ช่องว่างบริเวณปลายหาง พบรได้ในพยาธิชนิด *W. bancrofti* มีลักษณะเรียวแหลม (tapering) ส่วน *B. malayi* จะพบมีนิวนิวเคลียสที่ปลายหางแยกออกไปจากกลุ่ม 1-2 เม็ด (terminal nuclei)

ตารางที่ 5 การวินิจฉัยพยาธิโรคเท้าช้างในโลหิต (ไมโครฟล่าเรีย) ที่พนในประเทศไทยโดยการย้อมสี吟่า

รายละเอียด	<i>Brugia malayi</i>	<i>Wuchereria bancrofti</i>
1. ความยาว (Length)	177-230 ไมครอน	210-359 ไมครอน(ในผู้ป่วยกะเหรี่ยง) 210-320 ไมครอน(ในผู้ป่วยพม่า)
2. ช่องว่างตอนหัว (Cephalic space)	ความยาวเป็นสองเท่าของ ความกว้าง 2:1	ความยาวเท่ากับความกว้าง 1:1
3. นิวเคลียส (Nucleus)	ติดสีม่วงและช้อนทับกัน ไม่เป็นระเบียบ	ติดสีน้ำเงินและแยกกันอยู่อย่างมี ระเบียบ
4. ลักษณะลำตัว (Figure)	มักจะบิดงอและพับไปมา (Secondary kinds)	จะโค้งงอเป็นระเบียบ (Smooth curve)
5. รูขับถ่ายของเสีย (Anal pore)	โดยทั่วไปจะมองเห็นชัดเจน เป็นรอยเว้า เห็นในนิวเคลียส	มองไม่ค่อยเห็น
6. หาง (Tail)	มีนิวเคลียสถึงปลายหางและ แยกออกจากตอนปลาย 1-2 เม็ด เรียก Terminal Nuclei	นิวเคลียสไม่ถึงปลายหางมีช่องว่าง เรียกว่า Caudal space
7. ปลอกหุ้มลำตัว (Sheath)	สีชมพูอมแดง (Pink or Purplish)	ไม่ติดสี (Colorless) แต่บางครั้งอาจ ติดสีชมพูบาง ๆ เนื่องจาก PH ของสี ซึ่งเปลี่ยนไปจาก pH 7.2 หรือใช้ สีมาก/ซ้อมนานเกินไป

รังโรคในสัตว์ (animal reservoirs)

โรคเท้าช้างชนิด subperiodic *Brugia malayi* นอกจากจะอาศัยอยู่ในคนซึ่งเป็น definite host แล้ว ยังพบว่าพยาธิตั้งกล่าวสามารถเข้าไป寄生อยู่ในสัตว์ได้หลายชนิด ซึ่งสัตว์เหล่านี้จะทำหน้าที่เป็น

reservoir host ของให้พยาธิอาศัยอยู่ สัตว์เหล่านี้ได้แก่ ค่าง (leaf monkey) ชนิดต่าง ๆ ในตระกูล *Presbytis spp.* แม่ว้า ชะนด นางอ้าย แม่วบ้าน และนิมเป็นต้น จึงทำให้เป็นปัจจัยในการควบคุมโรคฯ

ได้มีการศึกษาพบว่า *Brugia pahangi* เป็นพยาธิฟิลารีที่พบได้เสมอ ๆ ในแมว สุนัข ค่าง แมวป่า ชะนด นาค นิมและสัตว์ป่าจำพวกกัดแทะสามารถแพร่สู่คนได้ เช่น กัน ปัจจัยที่พบในปัจจุบันคือการจำแนกพยาธิในโครฟิลารี *Brugia malayi* และ *B. pahangi* ในโลหิตสัตว์ เพราะเมื่อนำมาข้อมสืบินช่าจะพบรูปร่างลักษณะคล้ายกันมาก ซึ่งเป็นการยากที่จะแยกได้ว่าเป็นพยาธิชนิดใด ส่วนผลการสำรวจสัตว์รังโรคดังตารางที่ 6

ตารางที่ 6 การศึกษารังโรคในสัตว์ในประเทศไทยและประเทศชาติ

ชนิดของสัตว์ ตรวจสอบ	จำนวน	ผลการตรวจพบ			
		<i>B. malayi</i>	<i>B. pahangi</i>	<i>B. tupaiæ</i>	<i>Brugia spp.</i>
<i>Presbytis melalophos</i>	92	62(67.4)	0	0	0
<i>Presbytis obscure</i>	150	107(71.3)	4(2.7)	0	0
<i>Presbytis cristat</i>	13	7(53.8)	0	0	0
<i>Macaca fascicularis</i>	150	4(2.7)	0	0	0
<i>Tupaia glis</i>	285	0	0	9(3.2)	17(6.0)
<i>Nycticebus concang</i>	199	0	10(5.0)	0	0
Cat	447	31(6.9)	59(13.2)	0	0
Dog	68	0	7(10.3)	0	0

การปรากฏตัวของไข่โครฟิลารีของเชื้อ *B. malayi* ในแมว

การปรากฏตัวของไข่โครฟิลารีในกระเพาะเลือดส่วนปลายในแมวติดเชื้อ *B. malayi* ในจังหวัดนราธิวาสพบว่าไม่โครฟิลารีจะปรากฏตัวตลอดวันแต่พบมากในเวลากลางคืน ไม่โครฟิลารีจะปรากฏตัวสูงสุดที่เวลา 00.21 น. การปรากฏตัวของไข่โครฟิลารีในแมวที่ติดเชื้อ *B. malayi* ในจังหวัดสุราษฎร์ธานี พบรูปร่างลักษณะคล้ายกับจังหวัดนราธิวาส โดยปรากฏตัวสูงสุดที่เวลา .054 น. ซึ่งต่างจากคน ส่วนสาเหตุยังหาเหตุผลที่ชัดเจนไม่ได้

พยาธิโรคเท้าซ้างที่มีรายงานการพบในแมว ได้แก่ *B. malayi*, *B. pahungi*, *B. ceylonensis*, *B. buckleyi*, *D. immitis*, *D. repens*, *D. tenuis*, *W. patei*⁽¹⁴⁻¹⁷⁾ แต่ที่เป็นที่สามารถแพร่มาสู่คนที่มีผลการศึกษารองรับคือ *B. malayi* ไม่ใช่เป็น accidental host แต่ในโครฟิลารีของ *B. malayi* จะเห็นอยู่กับของ

B.pahungi จะต่างกันที่ เข็ม *B.malaria* พบรังในคนและแมว ก่อให้เกิดพยาธิสภาพในคนทำให้เป็นโรค เท้าช้าง โดยมีบุ้ง *Mansonia uniformis* เป็นพาหะนำโรค ส่วนเข็ม *B.pahungi* พบรังในแมวไม่ก่อให้เกิดพยาธิ สภาพในคน มีบุ้ง *Armigeris subarbatus* เป็นพาหะนำโรค ได้มีการศึกษาด้วย Microfilarial morphometric⁽¹⁸⁾ เปรียบเทียบความแตกต่างทาง Histochemical ที่ใช้ Acid phosphatase staining⁽¹⁹⁾

Morphometric เป็นการวิเคราะห์เชิงปริมาณ ใช้การเก็บข้อมูลขนาด รูปร่าง ของสิ่งมีชีวิตเพื่อใช้ในการวิเคราะห์ความแตกต่าง หรือวิเคราะห์ความสัมพันธ์เชิงวิัฒนาการของสิ่งมีชีวิต ซึ่งเก็บข้อมูลจาก ชากรฟอสซิลหรือชากระดูก เมื่อนำมาใช้กับไข้โรคพิลาเรีย เรียกว่า Microfilarial morphometric

Acid phosphatase staining เป็นการซึมเนื้ือเยื่อหัวรากส่วนใต้ที่มีเอนไซม์ Acid phosphatase เป็นเอนไซม์ที่อยู่ในกลุ่ม Phosphatase มีสารพวก hydrolase ทำหน้าที่เร่งปฏิกิริยาถลาย พันธะของสารประกอบอินทรีย์ Acyl ester และ phosphoryl ester เอนไซม์จะเร่งปฏิกิริยาและถลาย พันธะระหว่าง H และ O ในโมเลกุลของน้ำจะแยกออกจากกันด้วยแลกออกออล์ดและฟอสเฟทอิโอน

Phosphatase ที่มีความสำคัญทางการแพทย์ มีอยู่ 2 ชนิด คือ

1. Alkaline phosphatase ทำหน้าที่เร่งปฏิกิริยาได้ดีที่สุดในสภาวะเป็นด่าง (pH 8.4 - 10.5)

2. Acid phosphatase (ACP) ทำหน้าที่เร่งปฏิกิริยาได้ดีที่สุดในสภาวะเป็นกรด (pH 4.8 - 6.0)

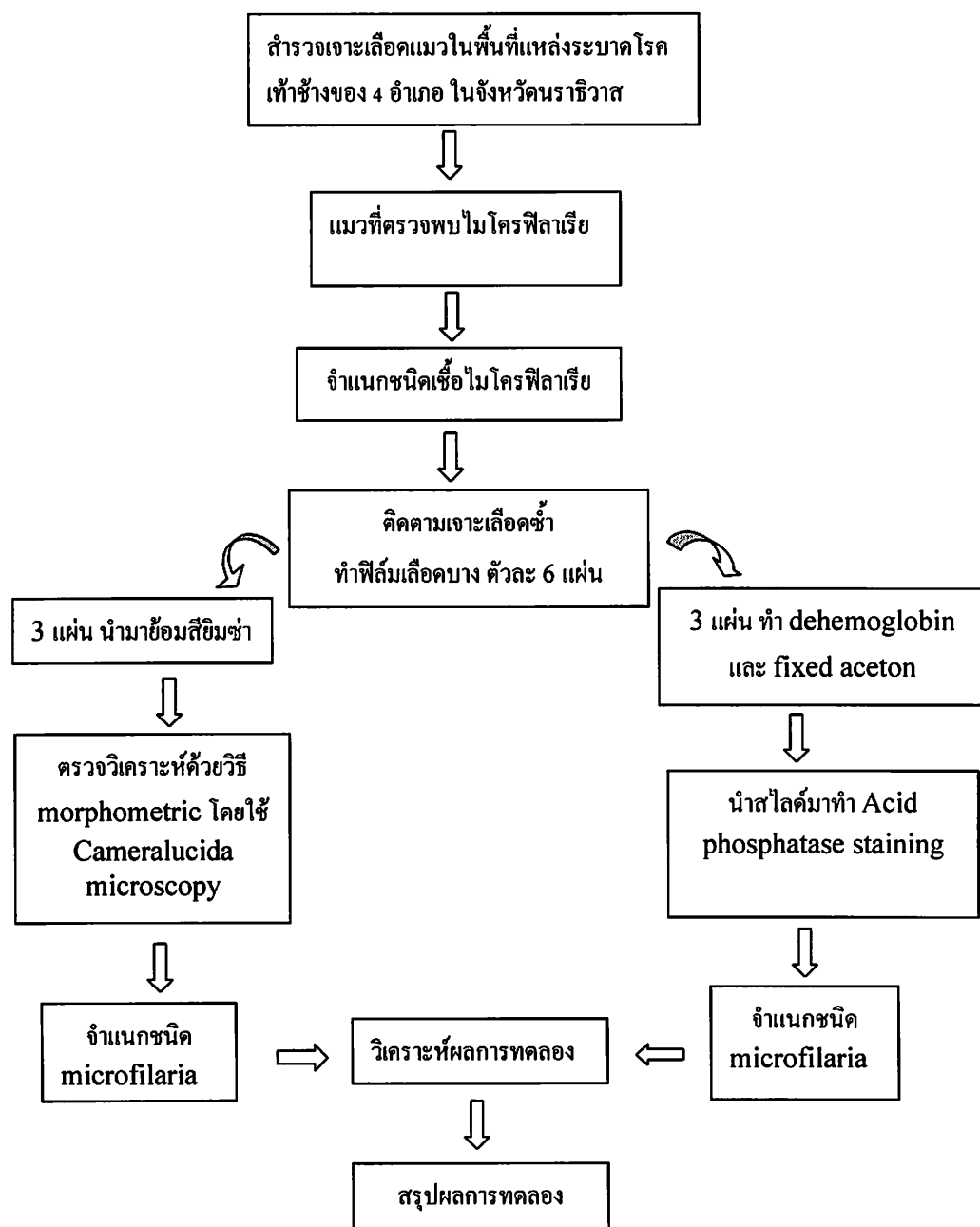
ACP เป็นชนิดของเอนไซม์ที่ผลิตโดยร่างกาย ประกอบด้วย โปรตีนແພพะที่มีคุณสมบัติในการเร่งปฏิกิริยา การยึดเหนี่ยวของ โนಡอกลูลของฟอสเฟตกลุ่มนี้หลายประเภทของ โดยทั่วไป ACP สามารถพบได้ในอวัยวะ และเนื้อเยื่อบางอย่างรวมทั้งเซลล์เม็ดเลือดขาวระดูก, ման., ตับ, ตับอ่อนและไต ในต่อมลูกหมากจะมีสาร นี้ความเข้มข้นมากมากที่อ่อนถึง 1,000 เท่า พนมากในน้ำอสุจิกว่าของเหลวในร่างกายอื่น ๆ ลูกน้ำมาใช้จะ เป็นประโยชน์ในด้านวิทยาศาสตร์ของสถาบันนิติเวชตั้งแต่การตรวจสอบของกรด phosphatase ต่อม ลูกหมากโต (PAP) ในระดับเนื้อเยื่อของคลอดวัฒนากว่า 3 U / ml (หน่วยต่อมลิลลิตร) ใช้เป็นหลักฐาน สนับสนุนว่าการบ่งชี้นีกีดขึ้น หลักฐานเพิ่มเติมเพื่อยืนยันว่าการปรากฏตัวของเอนไซม์นี้จากน้ำอสุจิ มากกว่าของเหลวในช่องคลอดจะถูกตรวจจาก การทดสอบ ซึ่งเป็นวัดเชิงปริมาณของ isoenzymes ต่างๆที่พบใน ACP สร้างขึ้น โดยเฉพาะใช้ทดสอบการทำงานของต่อมลูกหมากโดยการตรวจหา แอนติเจนที่เฉพาะเจาะจงการทดสอบใช้ยืนยันการปรากฏตัวของสารเปริร์ม⁽²⁰⁾ การวัดระดับซีรั่มของ APC จะเป็นประโยชน์ในการวินิจฉัยของความหลากหลายของเงื่อนไขทางการแพทย์ตัวอย่างเช่น ในระดับที่ ผิดปกติอาจบ่งบอกถึงการปรากฏตัวของการติดเชื้อในระบบโลหิตจาง hepatitis, thrombophlebitis หรือ hyperparathyroidism ระดับสูงของ PAP โดยเฉพาะอย่างยิ่งเป็นเรื่องที่เกี่ยวข้องกับการอักเสบของต่อม ลูกหมากเป็นมะเร็งต่อมลูกหมากที่มีการแพร่กระจายไปที่กระดูก การทดสอบ phosphatase บังใช้ในการ ประเมินความเสี่ยหายที่เกิดจากเอนไซม์โรคไต โรคตับหรือโรคหัวใจวาย การทดสอบนี้จะบังคับเนินการ เมื่อมีการเพาแพลญญาหารบางอย่าง การทดสอบเดือดที่เรียบง่ายจากการกำหนดระดับของเอนไซม์ นี้ ตัวอย่างเลือดสัมผัสกับหนังในตัวแทนหลายอย่างจากปฏิกิริยาของเอนไซม์คือ 4 aminoantipyrine เพื่อ วัดระดับของการ PAP, tartrate ที่ลูกน้ำมาใช้ โดยการสังเกตปฏิกิริยาที่ตัวแทนที่แตกต่างกันเหล่านี้

แพทย์จะสามารถตรวจสอบที่เนื้อเยื่อมีการปล่อยเอนไซม์ phosphatase เข้าสู่กระแสเลือด⁽²¹⁾ ส่วนเอนไซม์นี้มักพบมากในระบบทางเดินอาหารของไมโครฟิล์เรีย ที่แต่ละชนิดจะมีมากหรือน้อยและตำแหน่งที่ต่างกัน จึงถูกนำมาประยุกใช้ในการจำแนกชนิดไมโครฟิล์เรีย

บทที่ 3 วิธีดำเนินการวิจัย

รูปแบบการวิจัย (Research design)

เป็นการศึกษาเชิงทดลอง (Experimental study) เพื่อศึกษาความสอดคล้องผลการจำแนกชนิดเชื้อของไมโครฟิลารีบด้วยวิธี Microfilarial morphometric และ Acid phosphatase staining



พื้นที่ศึกษา : เลือกศึกษาในประชารมว่าในพื้นที่ แหล่งระบาดของโรคเท้าช้างชนิด B.malaria ของ 4 อำเภอ ของจังหวัดนราธิวาส

การเจาะเลือดแมว

การเจาะเลือดแมวในการสำรวจโรคเท้าช้างนิยมเจาะที่ปaleyhuของแมว เพราะผิวนังบาง สามารถมองเห็นเส้นเลือดชั้นนอก ง่ายต่อการจับแมว การเจาะเลือดแมวและการทำฟิล์มเลือดหนานมีขั้นตอนดังต่อไปนี้

1. เตรียมนุ่มคล อุปกรณ์ที่จำเป็นในการเจาะเลือด

- การเจาะเลือดต้องใช้เจ้าหน้าที่ 2 คน ใน การเจาะเลือด คือ ผู้เจาะเลือดที่ทำหน้าที่เจาะเลือด ทำฟิล์มเลือด และผู้ช่วยจับชี้ชึงเป็นเจ้าหน้าที่หรือเจ้าของแมว ถ้าเป็นเจ้าของแมว เจ้าหน้าที่ควรแนะนำวิธีการจับแมวเพื่อเตรียมเจาะเลือด
 - ถุงมือ 2 คู่ สำหรับผู้เจาะเลือดและผู้ช่วยจับชี้ชึง
 - เครื่องเจาะเลือด
 - สำลี
 - แอลกอฮอลล์ 70 %
 - แผ่นสไลด์แก้ว
 - ปากกาเขียนสไลด์
 - แบบรายงาน

2. ตรวจดูใบหูของแมว เพื่อคุณตำแหน่งที่จะเจาะเลือด แต่หากพบว่าที่ใบหูมีแพลงหรือการติดเชื้อ ให้พิจารณาเลือกเจาะหูข้างที่มีสภาพดีที่สุดระหว่าง 2 ข้าง บริเวณที่จะเจาะเลือดจะเป็นเส้นเลือดที่หดขยายตามแนวใกล้ขอบใบหูที่ได้ใช้ปากกาชี้ตำแหน่งดังภาพที่ 2



ภาพที่ 7 ใบหูแมว



ภาพที่ 8 ชี้ตำแหน่งเส้นเลือดในหูของแมว

3. ผู้ช่วยทำหน้าที่ในการจับยึดแมว โดยมือข้างหนึ่งจับยึดหนังที่คอแมวชิดท้ายทอยให้แน่น (ไม่กำรออบคอกแมว) ส่วนมืออีกข้างการออกและจับค้านท้ายแมวป้องกันแนวคลอyleหลังดังภาพที่ 3
4. ทำความสะอาดหูแมว โดยการใช้สำลีชุบด้วยแอลกอฮอล์ 70 % ที่ปลายใบหูทั้งค้านในและนอกดังภาพที่ 4



ภาพที่ 9 การจับแมว



ภาพที่ 10 ทำความสะอาดหูแมว

5. เตรียมเข็มเจาะเลือด ดังภาพที่ 5
6. สังเกตจุดที่จะเจาะเลือดและใช้มือซ้ายจับใบหูแมวจีบพับเบ่งครึ่งตามยาวของใบหูค้านปลายโดยไม่บังค่านแห่งที่จะเจาะ มือขวาใช้เข็มเจาะเลือด ดังภาพที่ 6



ภาพที่ 11 การเตรียมเข็มเจาะเลือดแมว



ภาพที่ 12 การจับใบหูแมวเพื่อเจาะเลือด

7. เจาะเลือดที่ปลายหูบริเวณเส้นเลือด การลงเข็มให้เจาะลงตามแนวยาวของใบหู
8. การบีบเลือด ใช้มือจับที่กลางใบหูและรูดไปค้านปลายเบาๆ เลือดจะไหลออกมานเป็นหยด



ภาพที่ 13 การเจาะเลือด膜



ภาพที่ 14 การบีบเลือด膜

9. หยดเลือดลงบนแผ่นสไลเดอร์ใช้เลือด 2 หยด (ประมาณ 30 ไมโครลิตร) และวางแผ่นสไลเดอร์ลง
10. ควรเช็คเลือดและทำความสะอาดใบมีดเมื่อก่อนเกลี่ยเลือด เพราะแมวอาจสะบัดหัวทำให้เลือดกระเด็นเป็นคนรอบข้าง



ภาพที่ 15 การหยดเลือดลงสไลด์



ภาพที่ 16 ทำความสะอาดหลังเจาะมีด

11. การเกลี่ยฟิล์มเลือดแนะนำให้ใช้มุนแผ่นสไลด์ ปริมาตรเลือด 10 ไมโครลิตร เกลี่ยเป็นฟิล์มบางจะให้ฟิล์มเลือด พื้นที่วงกลมเส้นผ่าศูนย์กลางยาว 2 เซนติเมตร (ไม่ควรใช้ปลายเข็มเพราะอาจทำให้ตัวเข็มพยาธิขาด การใช้มุนสไลด์ ทำให้ได้ฟิล์มเลือดที่หนาเสมอ กันง่ายกับการตรวจและข้อม)
12. เป็นรหัสฟิล์มเลือด ประกอบด้วย อันดับที่ของฟิล์มเลือดหมู่วันที่ วันที่ เวลา และควรระบุว่าเป็นเลือดจากแมว

การย้อมสี吟ช่า

- เมื่อพิล์มโลหิตแห้งสนิท ข้อมสี吟ช่า ความเข้มข้น 1 : 20 (สี 1 ส่วน + น้ำฟเฟอร์ PH 7.2 จำนวน 19 ส่วน) ข้อมนาน 10-15 นาที
- การตรวจหาพยาธิ ให้ใช้ Objective 4x หรือ 10x โดยดูจนทั่วสไลด์ เมื่อพบพยาธิ ให้ นับจำนวน ทั้งหมด หากสงสัยชนิดของพยาธิ อาจใช้ Object 100x พร้อมหมุด immersion oil ลงไปเพื่อ วินิจฉัยชนิดพยาธิ

การวิเคราะห์ผล

Microfilarial morphometric : การจำแนกชนิดความแตกต่างระหว่าง *B.malayi* กับ *B.pahungi* ด้วยวิธี Morphometric พิจารณาจากความยาวของอวัยวะส่วนต่างของไข่ในโกรฟีลาเรีย ตามที่มีการศึกษาดัง ตารางที่

ตารางที่ 7 ข้อแตกต่างระหว่างพยาธิในโกรฟีลาเรีย ชนิด *Brugia pahangi* *B.malayi* sub periodic
โดยวิธีย้อมสี Innenkorper (วัดขนาดเป็นไมครอน : μm)⁽²²⁾

รายละเอียด	ขนาดเชิง	
	<i>B. pahangi</i>	<i>B.malayi(subperiodic)</i>
จำนวนพยาธิที่ศึกษา	ค่าเฉลี่ย (%) ช่วงระหว่าง	ค่าเฉลี่ย (%) ช่วงระหว่าง
ความยาวลำตัว	15	15
ความกว้างบริเวณนิวเคลียส เม็ดที่ 1	244.3(235-260)	222.0 (205-240)
ความยาวบริเวณนิวเคลียส เม็ดที่ 1	4.4	4.0
อัตราส่วน ยาว : กว้าง	9.0(3.7)	7.5(3.4)
อัตราส่วน ยาว : กว้าง	2.1 : 1	1.9 : 1
วงแหวนประสาท	55.9(22.8) 53.60	48.3(21.8) 44 – 56
ช่องขับถ่าย (Excretory pore)	76.5(31.3) 72.82	67.0(30.2) 61.76
จุดเริ่มต้นท่อทางเดินอาหาร	123.5(50.6) 117-135	115.5(52.0) 107-125
จุดสิ้นสุดท่อทางเดินอาหาร	176.6(50.6) 117-135	146.2(65.9) 146.2-158
ทวารหนัก	204(83.5) 195-215	181.6 (81.8) 168-197
รวมความยาวสุทธิทางเดินอาหาร	53.1(21.7) 44.63	30.7 (13.8) 24-34
การติดสีของ Innenkorper	++	+

การย้อมสี Acid phosphatase

1. วิธีทำการขัดสีเมโนโกลบิน (Dehaemoglobinization) วิธีนี้จะต้องทำการย้อมสี吟ช่า เพาะสไลด์ที่ผ่านกระบวนการนี้จะทำให้พื้นกระჯเศาดกกว่าปกติเนื่องจากเม็ดเลือดแดงถูกขัดไป นอกจากนี้ยังสามารถเก็บรักษาสไลด์ไว้ได้นานโดยยังไม่ย้อมสี ขั้นตอนมีดังนี้

- จุ่นสไลด์ที่เลือดแห้งสนิทลงในน้ำสะอาดนาน 2 นาที หรือจนกว่าสีเมโนโกลบินจะหมด

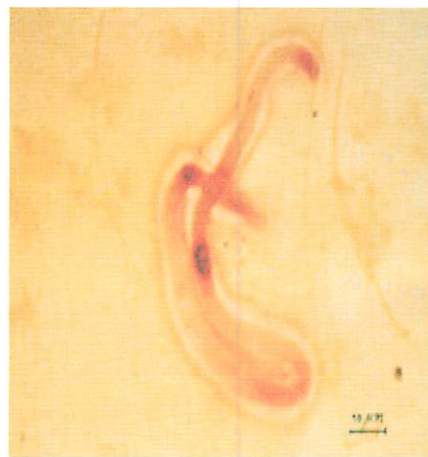
ไป

- นำสไลด์จุ่นสไลด์ลงใน acetone นาน 1 นาทีผ่านให้แห้งสนิทเก็บไว้ใช้งานต่อไป

2. วิธีการย้อม Acid phosphatase

การแปลผล ⁽²³⁻²⁴⁾

- บริเวณที่ Acid phosphatase activity จะติดสีแดง โดย
 - *Brugia malayi* จะติดสีที่ excretory vesical, anal vesical, plasmids
 - *Brugia pahungi* จะติดสีเกือบทลอดลำตัว



ภาพที่ 17 *Brugia malayi* ช้อม acid phosphatase



ภาพที่ 18 *Brugia pahungi* ช่อง acid phosphatase

บทที่ 4

ผลการศึกษา

ผลดำเนินการสำรวจรังโรคเท้าซ่างในแมวในจังหวัดนราธิวาส สามารถแมวจำนวน 2,515 ตัว ในเขต 4 อำเภอ ของจังหวัดนราธิวาส ได้แก่ สุไหงปาดี ยะแวง และตากใบ ผลการตรวจพิล์มเลือดพบเชื้อพยาธิ *Brugia spp.* จำนวน 104 ตัว (4.13%) *Dirofilaria repens* 76 ตัว (3.02%) และ *Dirofilaria immitis* 2 ตัว (0.2%) ดังตารางที่ 8

ตารางที่ 8 ผลการเจาะเลือดสำรวจแมวในพื้นที่จังหวัดนราธิวาส ปีพ.ศ. 2546

จังหวัด	อำเภอ	จำนวนเจาะ เลือด (ตัว)	<i>Brugia Spp.</i>	<i>B.repens</i>	<i>D.immitis</i>	รวม
			ตัว (%)	ตัว (%)	ตัว (%)	ตัว (%)
นราธิวาส	สุไหงปาดี	792	82(10.35)	29(3.66)	0	111(14.01)
	ตากใบ	758	14(1.85)	21(2.77)	0	35(4.62)
	ยะแวง	621	16(2.58)	19(3.06)	0	35(5.62)
	เมือง	344	1(0.29)	7(2.03)	2(0.58)	10(2.91)
รวม	4 อำเภอ	2,515	104(4.13%)	76 (3.02%)	2 (0.2%)	182 (7.24)

ผลการติดตามการเจาะเลือดสำรวจแมว *Brugia spp.* positive 104 ตัวในพื้นที่ 4 อำเภอ ของจังหวัดนราธิวาส สามารถติดตามเจาะเลือดได้ 27 ตัว เนื่องจากเป็นการถ่ายปล่อย แมวไม่ชินกับการถูกล่าม จึงไม่สามารถติดตามได้ทุกตัวและเหตุการณ์ความไม่สงบในพื้นที่ทำให้องค์การดำเนินงาน ผลการดำเนินงานดังตารางที่ 9

ตารางที่ 9 ผลการติดตามการเจาะเลือดสำหรับตรวจแมว *Brugia spp. positive* ในพื้นที่
จังหวัดนราธิวาส ปีพ.ศ. 2547

จังหวัด	อำเภอ	แมว <i>Brugia spp. Positive</i> (ตัว)	แมวที่สามารถติดตามเจาะ เลือด (ตัว)
นราธิวาส	ศูนย์กลางป่าดี	81	19
	ตาดใหญ่	14	4
	ยะแวง	16	4
รวม	3 อำเภอ	111	27

จากการติดตามเจาะเลือดแมวและนำฟิล์มเลือดมาข้อมจำนำง 27 ตัว และจำนวนฟิล์มเลือดที่สามารถนำมาทำฟิล์มเลือดและตรวจพบไมโครฟิลารียาจากแมวจำนวน 24 ตัวแต่มีฟิล์มเลือดจากแมวเพียงจำนวน 21 ที่สามารถข้อมตีดสี acid phosphatase สำเร็จ ปัญหาที่พบคือเอนไซม์นี้จะสถาบัตตัวง่ายเมื่อสัมผัสความร้อน สไลด์ที่ไม่สามารถข้อมตีดสีอาจเป็นผลมาจากการสัมผัสกับความร้อนระหว่างการขนส่งนานเกินไป ส่วนฟิล์มเลือดจากแมวจำนวน 21 ตัวเมื่อนำมาตรวจวัด morphometric ในไมโครฟิลารียจำนวน 313 ตัว และผลการข้อมหาเนื้อเยื่อหรืออวัยวะของไมโครฟิลารียที่มีเอนไซม์ acid phosphatase ที่จะข้อมตีดสีแดง-ส้ม รายละเอียดดังตารางที่ 10

ตารางที่ 10 ผลการวัดด้วยวิธี Microfilarial morphometric ในไมโครฟิลารียาจากแมวที่ติดเชื้อฟิลารียในช่วงชาติที่
จังหวัดนราธิวาส

No. cat	Measurements*			
	No. microfilariae examined	Body length	Body width at nerve ring	Innenkorper length
1	20	169.70±9.45 (144.43-183.32)	5.34±0.68 (4.36-6.54)	25.27±4.93 (11.11-33.33)
2	11	204.02±11.68 (183.32-222.20)	5.30±1.01 (3.82-7.63)	30.80±7.18 (22.22-44.44)
3	13	207.24±10.73 (188.87-222.20)	4.91±0.70 (4.36-6.54)	23.50±5.63 (16.66-33.33)

ตารางที่ 10 ผลการวัดคุณวิธี Microfilarial morphometric ไมโครฟิลารีเจ็กเมวท์ติดเชื้อฟิลารียินธรรมชาติที่จังหวัดนราธิวาส (ต่อ)

No. cat	Measurements*			
	No. microfilariae examined	Body length	Body width at nerve ring	Innenkörper length
4	2	202.75±11.79 (194.42-211.09)	4.91±0.77 (4.36-5.45)	27.77±7.86 (22.22-33.33)
5	20	196.92±17.70 (172.20-233.31)	4.66±0.62 (3.27-5.45)	30.55±4.60 (22.22-38.88)
6	3	214.79±12.83 (199.98-222.20)	4.72±0.63 (4.36-5.45)	35.18±6.41 (27.77-38.88)
7	5	211.09±14.16 (194.42-227.75)	5.23±0.49 (4.36-5.45)	31.10±4.97 (27.77-38.88)
8	15	197.02±11.85 (172.20-216.64)	5.27±0.67 (4.36-6.54)	28.88±4.30 (22.22-33.33)
9	20	195.81±13.95 (172.20-216.64)	4.69±0.57 (3.27-5.45)	25.27±3.36 (22.22-33.33)
10	11	194.93±9.44 (183.32-211.09)	4.66±0.51 (3.82-5.45)	27.27±3.89 (22.22-33.33)
11	13	207.04±10.49 (183.32-216.64)	5.16±0.61 (4.36-6.54)	31.62±4.17 (27.77-38.88)
12	20	191.37±10.27 (177.76-211.09)	4.33±0.45 (3.27-4.91)	30.83±4.93 (16.66-38.88)
13	20	175.54±10.88 (155.54-194.42)	5.32±0.63 (4.36-6.54)	27.77±4.77 (16.66-38.88)
14	20	176.93±11.58 (161.09-199.98)	6.30±0.41 (5.45-7.09)	23.33±4.26 (16.66-27.77)
15	20	193.04±23.35 (144.43-227.75)	5.91±0.71 (4.39-7.09)	24.72±5.25 (16.66-38.88)
16	20	197.20±11.04 (177.76-216.64)	6.16±0.75 (4.36-7.63)	29.16±6.95 (16.66-44.44)

ตารางที่ 10 ผลการวัดค่าวิวัธิ Microfilarial morphometric ไมโครฟิลารีเจ็กเมวที่ติดเชื้อฟิลารียในธรรมชาติที่
จังหวัดนราธิวาส (ต่อ)

No. cat	Measurements*			
	No. microfilariae examinated	Body length	Body width at nerve ring	Innenkorper length
17	20	208.03±16.57 (177.76-249.98)	5.45±0.75 (4.36-6.54)	34.16±6.57 (22.22-44.44)
18	13	223.91±17.18 (177.76-249.98)	5.87±0.89 (4.36-7.63)	30.34±5.83 (16.66-38.88)
19	14	209.90±20.34 (166.65-227.75)	6.27±0.63 (5.45-7.09)	27.38±7.69 (11.11-38.88)
20	20	202±12.15 (188.87-233.31)	5.53±0.54 (4.36-6.54)	30.83±4.93 (22.22-38.88)
21	13	185.88±12.95 (166.65-211.09)	4.91±0.55 (4.36-5.45)	29.48±6.95 (16.66-44.44)
Total	313	195.91±18.92 (144.43-249.98)	5.25±0.85 (3.21-7.49)	28.56±6.08 (11.11-44.44)

ตารางที่ 11 การข้อม acid phosphatase ในไข่โรคพิลารีเจ้าแมวที่ติดเชื้อพิลารีในธรรมชาติที่จังหวัดนราธิวาส

No. cats	บริเวณที่ตรวจพบ Acid phosphatase activities				
	No. microfilariae	Amphid	Excretory vesical	Anal vesical	Plasmid
1	20	+	+	+	+
2	11	+	+	+	+
3	13	+	+	+	+
4	2	+	+	+	+
5	20	+	+	+	+
6	3	+	+	+	+
7	5	+	+	+	+
8	15	+	+	+	+
9	20	+	+	+	+
10	11	+	+	+	+
11	13	+	+	+	+
12	20	+	+	+	+
13	20	+	+	+	+
14	20	+	+	+	+
15	20	+	+	+	+
16	20	+	+	+	+
17	20	+	+	+	+
18	13	+	+	+	+
19	14	+	+	+	+
20	20	+	+	+	+
21	13	+	+	+	+

บทที่ 5

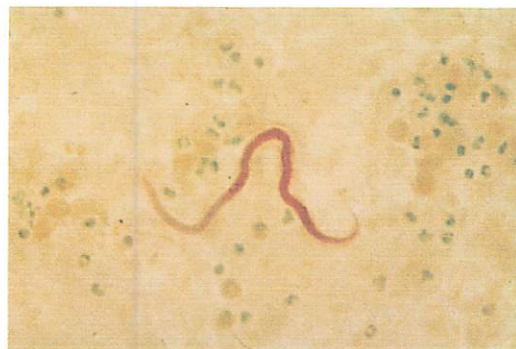
วิจารณ์

พยาธิโรคเท้าช้างที่พบในแนว

จากผลการศึกษาพบพยาธิโรคเท้าช้างในแนวของจังหวัดนราธิวาส พบชนิด *B.malayi*, *D.repens* และ *D.immitis* ร้อยละ 4.13, 3.02 และ 0.2 ตามลำดับ พบแนวที่ติดเชื้อ *B.malayi* ร่วมกับ *B.pahungi* 6 ตัว การใช้วิธี morphometric และใช้ผลจากการติดตัวของ acid phosphatase ช่วยยืนยันความถูกต้องอีกรึ่ง ช่วยในการจำแนกชนิดของไมโครฟล่าเรียได้เป็นอย่างดี เพราะไมโครฟล่าเรียบางชนิดสามารถใช้ลักษณะทางสัณฐานวิทยาที่สามารถระบุชนิดได้ บางชนิดไมโครฟล่าเรียที่ติดตัว acid phosphatase คล้ายกัน เช่น *D.immitis* คล้ายกับ *B.malayi* และ *Dipelalonema reconditum* คล้ายกับ *B.pahungi* และจากทั่วโลกพยาธิโรคเท้าช้างที่มีรายงานการพนในแนว 8 ชนิด ได้แก่ *B.malayi*, *B.pahungi*, *B.ceylonensis*, *B.buckleyi*, *D.immitis*, *D.repens*, *D.tenuis*, *W.patei* ⁽²⁴⁻²⁵⁾



ภาพที่ 19 *Dirofilaria immitis* ข้อม acid phosphatase จุดที่ลูกศรชี้พนเอนใช้ม acid phosphatase



ภาพที่ 20 *Dipelalonema reconditum* ข้อมด้วย acid phosphatase
จุดที่ลูกศรชี้พนเอนใช้ม acid phosphatase

แนวโน้มการเกิดโรคในกลุ่มพิลาเรียจากแมวสุก่อน

B.malayi ในแมวเป็นที่ทราบชัดเจนว่าสามารถแพร่มาสู่คนคนได้ ส่วน *B. pahungi* ไม่มีการรายงานการติดเชื้อชนิดนี้กับในธรรมชาติ แต่จากรายงานการศึกษาในปี 1960 ที่ประเทศมาเลเซีย ทำการทดลอง direct feeding L3 เข้าสุก่อน พบร่วมเชื้อนี้สามารถเข้าไปเจริญเติบโตในคน และตรวจพบในโรคพิลาเรียในเวลาต่อมาส่วนรายงานการก่อเกิดโรคในกลุ่มพิลาเรียจากแมวสุก่อน ในปี 2000 Pampiglione S. และ Rivasi F ได้ดำเนินการทบทวนวรรณกรรมการติดเชื้อ *D. repens* ในคนที่เกิดขึ้นในช่วงปี 1995 – 2000 ในช่วงเวลา 5 ปี มีรายงานผู้ป่วยรายใหม่ที่มีการเขียนยังแล้วว่าเป็นเชื้อ *D.repens* จำนวน 372 ราย ใน 25 ประเทศ เกิดในผู้ป่วยในช่วงอายุ 4 เดือน – 100 ปี พbmมากในช่วงอายุมากกว่า 40 ปี พbmในชายและหญิงไม่แตกต่างกัน มักเกิดพยาธิสภาพกับร่างกายในส่วนของครรภ์บุน มีบ้างที่พbmในอวัยวะภายใน เช่น ปอด เต้านม หากรายงานการพบการติดเชื้อ *D.repens* ในช่วง 1990-2000 มีรายงานผู้ป่วยมากถึง 782 ราย

- รายงาน Meningitis ปี 1974 ในรัฐแคลิฟอร์เนีย นับเป็นการพบการติดเชื้อ *D. immitis* รายที่ 4 ของรัฐนี้ มีอาการหลักหลายแต่เกี่ยวข้อง spermatic cord เกิดพังผืดและมีอาการ hernia หลังผ่าตัดเอ่า พังผืดออกของผู้ป่วยรายนี้ นำไปตรวจพบ immature male *D. immitis* ใน spermatic artery และพบ Extrapulmonary leisions รวมทั้ง Meningitis ร่วมกับระดับ Eisinophil สูง⁽²⁶⁾

- รายงานพบ Intra-ocular ติดเชื้อ *D. immitis* ในคน ปี 1978⁽²⁷⁾
- รายงานพบ *Dirofilaria* ในช่องห้องรายแรก ปี 1979 ในการผ่าศพชายชาวญี่ปุ่นที่เสียชีวิตจากมะเร็งปอด⁽²⁸⁾

- รายงานการพบ immature male *Dirofilaria repens* ในก้อนเนื้อจากผู้ป่วยหญิงชาวไทย อายุ 51 ปี ที่จังหวัดพังงา⁽²⁹⁾

- รายงาน Pulmonary dirofilariasis ปี 1989 ในเด็กชายชาวอินเดีย⁽³⁰⁾
- รายงานการพบพยาธิตัวตืดวัย *B. ceylonensis* ที่เปลือกตา (conjunctiva) ของผู้ป่วยชาวศรีลังกา ในปี 2000 พยาธินิดนี้มักพบในสุนัข ซึ่งพยาธิตัวตืดวัยชนิดนี้มีความเหมือนกับชนิด *W.bancrofti* แยกความแตกต่างด้วย DNA prob และ IFAT⁽³¹⁾

- รายงาน human hepatic dirofilariasis รายแรก ปี 2002 ในผู้ป่วยชายชาวເກາະດີ ผู้ป่วยรายนี้ไม่มีอาการแสดงพิเศษ แต่ตรวจก้อนเนื้อที่ตับจากการตรวจร่างกายประจำปี หลังการผ่าตัดนำก้อนเนื้อออก และดำเนินการผ่าพิสูจน์ชิ้นเนื้อ พบร่วมกับทางของเนื้อมีเนื้อตาย และพบพยาธิตัวกลมขาว และเมื่อตรวจด้วยวิธี ELISA พbm anti ของ Dirofilariasis⁽³²⁾

- รายงาน Pulmonary dirofilariasis ปี 2005 ชายชาวนาแลเซีย อายุ 55 ปี ที่เข้ารับการรักษาด้วยอาการปอดอักเสบ ภายหลังการตรวจพบเนื้องอกในปอด หลังการผ่าตัดตรวจชิ้นเนื้อพbmในโรคพิลาเรียในกลุ่ม *Dirofilaria*⁽³³⁾

การเกิดโรคในกลุ่มพิลาเรียจากแมวสุก่อน คนมักเป็น accidental host ของเชื้อจากแมว ยกเว้น *B.malayi* ที่เป็น zoonotic disease แต่จากการรวบรวมเอกสารจะพบว่าแนวโน้มการเกิดโรคที่มีเชื้อจากแมว

มาสู่คนสูงขึ้น แต่เชื้อเหล่านี้มักไม่ก่อให้เกิดพยาธิสภาพแก่แนว มีเพียงบางชนิดที่ทำให้เกิดผิวหนังอักเสบ แต่เมื่อเชื้อสามารถเข้าสู่คนก่อให้เกิดพยาธิสภาพที่รุนแรงมากน้อยขึ้นอยู่กับอวัยวะที่เชื้อไปอาศัย ดังนั้นในการควบคุมโรคเท้าช้างจำเป็นอย่างยิ่งที่ต้องดำเนินการทั้งในคนและสัตว์ และสำรวจเพิ่มชนิดสัตว์ที่มีศักยภาพเป็นรังโรคในการศึกษา

ปัญหาในการควบคุมโรค

Diethylcarbamazine citrate (DEC) เป็นยารักษาโรคเท้าช้าง (Drug of choice for Lymphatic Filariasis) ในคนนานกว่า 50 ปี Standard recommend dose 6 mg/kg/day (WHO,1992)⁽¹¹⁾ สำหรับเชื้อ *B. malayi* รับประทานยาติดต่อกัน 6 วัน เป็นผลิตภัณฑ์ในรูปแบบของ dihydrogen citrate สำหรับรับประทาน ละลายน้ำได้ดี คุณซึ่มเร็ว สามารถกระเจヤไปตามเนื้อเยื่อต่าง ๆ ได้ดี ยาจะออกฤทธิ์ร่วมกับ Reticuloendothelial cell มีประสิทธิภาพในการกำจัดไข่โรคพิลาเรีย และยาจะถูกขับออกทางไต แต่ประสิทธิภาพของยาต้องพยาธิตัวแกะไม่ชัดเจน การนำ DEC มาใช้กับรังโรคในสัตว์ เช่น หนู (jird) ต้องใช้ในขนาด 300 mg/kg ส่วนแนว 100 mg/kg ต่างกันในที่คนใช้ในขนาด 6 mg/kg ก็สามารถกำจัดไข่โรคพิลาเรียได้ในระดับเดียวกัน⁽¹²⁾ เมื่อจากระบบภูมิคุ้มกันที่ต่างกัน นอกจากนี้แม้ว่าจะขย้อน อาเจียนยาออกมายากแก่การควบคุมปริมาณยาที่เหมาะสมได้รับและสิ่งที่ต้องระวังอย่างยิ่งในการกำหนดมาตรการรักษาในแนวที่เป็นสัตว์เลี้ยง คือจะต้องเป็นวิธีปลอดภัยและประชาชัชนยอมรับ เมื่อจากบางครั้งพยาธิตัวแกะอาจจะอาศัยอยู่ที่เส้นเลือด Pulmonary artery และถ้ามีการใช้ยาที่มีฤทธิ์ฆ่าตัวแก่ทันทีคราวละจำนวนมาก ตัวแก่จะตายโดยไปอุดตันในหัวใจทำให้แนวตายได้

บทที่ 6

สรุปผลและข้อเสนอแนะ

สรุปผล

1. ผลการตรวจวัดทาง Microfilarial morphometric จากไนโตรฟิลารีเจ็บจำนวน 313 ตัวจากเมว 21 ตัว พบร่วมกับความยาวลำตัวเฉลี่ย 195 ± 18.92 ($144.33 - 249.98$) μm ความกว้างของลำตัวที่ระดับ nerve ring เฉลี่ย 5.25 ± 0.85 ($3.21 - 7.49$) μm ความ innenkorper เฉลี่ย 28.56 ± 6.08 ($11.11 - 44.44$) μm เปรียบเทียบกับข้อมูลตารางที่ 9 พบร่วมกับไนโตรฟิลารีสมควรจัดอยู่ในชนิด *B. malayi* จากไนโตรฟิลารีเจ็บจำนวน 313 ตัว และมีไนโตรฟิลารีจำนวน 6 ตัว (แมว No.1 ในไนโตรฟิลารี 1/20 ตัว, แมว No.16 ในไนโตรฟิลารี 1/20 ตัว, แมว No.17 ในไนโตรฟิลารี 3/20 ตัว, แมว No.21 ในไนโตรฟิลารี 1/13 ตัว) ที่มี innenkörper ยาว $\geq 44 \mu\text{m}$ ที่จัดอยู่ในชนิด *B.pahungi* (สัดส่วนร้อยละ 1.92)

2. ผลการตรวจข้อม acid phosphatase พบร่วมทุกตัวติดสีเหมือนกับไนโตรฟิลารีของ *B. malayi* ที่ติดสีที่ทำหน่ง amphids, excretory vesicles, anal vesicles, plasmids หากเป็นชนิด *B.pahungi* จะติดสีเกือบทลอดลำตัว

3. ผลการศึกษาว่าวิธี Microfilarial morphometric และ acid phosphatase staining พบร่วมกับความสอดคล้องกันในการแปลงผลการจำแนกชนิดเชื้อโรคเท้าช้างระยะไนโตรฟิลารีร้อยละ 98.1 ผลการศึกษาบ่งชี้ว่าแนวเป็นสัตว์รังโรคเท้าช้างชนิด *B. malayi* ที่สำคัญของจังหวัดนราธิวาส ซึ่งอยู่ภาคใต้ของประเทศไทย

ข้อเสนอแนะ

1. ควรจัดให้มีการสำรวจเจาะเดือดเมวเป็นระยะ พื้นที่ที่มีการระบาดของโรคเท้าช้างและไม่มีรายงานโรค โดยพื้นที่ที่มีรายงานให้มีความถี่ในการสำรวจมากกว่าที่ไม่มีรายงานโรค
2. ควรมีการสำรวจรังโรคในสัตว์ชนิดอื่นๆ
3. พัฒนาวิธีการควบคุมรักษาโรค ในสัตว์ที่เป็นรังโรคท้าช้าง

ເອກສາຮອ້າງອີງ

1. World Health Organization. The state of world health . World health report-Bridging the gaps. Geneva: World Health Organization; 1995.
2. WHO. Filariasis; The Disease and Its Control. Fifth Report of WHO Expert Committee on Filariasis. Geneva, World Health Organization, 1992 (WHO Technical Report Series, No.821)
3. WHO. Basic laboratory methods in medical parasitology. 1990 Geneva, World Health Organization
4. Division of Filariasis, Department of Communicable Disease Control, Ministry of Public Health 1998:1-33
5. World Health Organization. Epidemiologic approaches to lymphatic filariasis elimination: initial assessment, monitoring and certification. World Health Organization, Atlanta, Georgia, USA. WHO/FIL/99.195;1998:1-35.
6. Junhom W., Chungpivat S. and Viseshakul N. The observation of microfilarial rate and density in cats inoculated with increasing numbers of Brugia pahungii infective larvae. Southeast Asian J Trop Med Public Health. 2006; 37(suppl 3):40-42.
7. Hawking F. The Periodicity of Microfilariae Wld Hlth Org 1967. WHO/Fil/66.67 1967; 1-17.
8. Aikat Tk, Das M. A modified statistical method for analysis of periodicity of microfilariae. WHO/Fil/76. 142, 1967: 1-12
9. Lak-Uthai U. and Tomoen W. Susceptibility of Mansonia uniformos to Brugia malayi microfilariae from infected domestic cat. Southeast Asian J Trop Med Pub Health 2005; 36(2)434-441.
10. Cancrini G., Frangipane di Regalbono A., Ricci I., Tessarin C., Gabrielli S., et al. Aedes albopictus is natural vector of Dirofilaria immitis in Italy. Vet Parasitol 2003; 118(3-4) 195-202
11. Miyazaki I. Helminthic Zoonoses. 1991 Internationa; Medical Foundation of Japan, Shukosha Printing, Fukuoka, Japan.
12. Ramachandran, C.P. A GUIDE TO METHODS AND TECHNIQUES INFILARIASIS INVESTIGATIONS 1970 Bulletin No.15, Institut for Medical Research Malaysia.

13. Cheesbrough, M. Medical Laboratory manual for tropical countries. 1981 Vol 1. Sephen Austin cud Sons Ltd. Hertford, England.
14. Dissanaike AS. Zoonotic aspects of filarial infection in man. Southeast Asian J Trop Med Pub Health 1975; 6:654-658.
15. Dissanaike AS., Bandara CD., Padmini HH., Ihalamulla RL. and Naotunne TS. Recovery of a species of *Brugia*, probably, from the conjunctiva of a patient in Sri Lanka. Ann Trop Med Parasitol 2000; 94(1)83-86.
16. Buckley JJC., Nelson GS. and Heisch RB. On *Wuchereria patei* n.sp. from the Lymphatic of Cats Dogs and Genet Gats on Pate Island, Kenya. Bull WHO 1979; 157 (3) 197-9.
17. Rishniw M., Barr SC., Simpson KW., Frongillo MF., Franz M., et al. Discrimination between six species of canine microfilariae by a single polymerase chain reaction. Vet Parasitol 2006; 18(135) 3-4.
18. Sivanandam S. and Fredericks HJ. The “innenkorper” in differentiation between the microfilariae of *Brugia pahungi* and *B.malayi* (sub-periodic form. Med J Malaya 1966; 20:337-338
19. Yen PK. And Mak JW. Histochemical differentiation of *Brugia*, *Wuchereria*, *Dirofilaria* and *Breinlia* microfilariae. Ann Trop Med Parasitol 1978; 72: 157-162.
20. วิชุรย์ อึ้งประพันธ์. คู่มือการซัณสูตรพลิกศพ. กรุงเทพฯ : โครงการต่อรา-ศิริราช ,2524.
21. Barka T, Anderson PJ. Histochemistry, Theory, Practice and Bibliography. New York: Hoeber Medical Division, 1963: 242-6
22. Sivanandam S, Fredericks HJ. The “innenkorper” in differentiation between The microfilariae of *Brugia pahangi* and *B. malayi* (sub-periodic form). Med J Malaya 1966; 20:337-8
23. Mak JW. & Sivanandam “Laboratory Procedure” 1984 Filariasis Research Division, Institute for Medical Research
24. Mak JW “FILARIASIS” 1983 Bulletin No. 19, Institute for Medical Research Malaysia Sartono E,Purnomo, Bahang Z.B and Partono F. Experimental infection and periodicity studies of *Brugia timori* in the silvered leaf monkey, Mosquito – Borne Diseases Bulletin 1987; 6: (3); 65-67.
25. Buckley JJ, Edeson JF. On the adult morphology of *Wuchereria* sp.(malayi?) from a monkey (*Macaca irus*) and from cats in Malaya, and on *Wuchereria pahangi* n.sp. from a dog and a cat. J Helminthol 1956;30:1-20

26. Theis JH., Gilson A., Simon GE., Bradshaw B. and Clark D. *Dirofilaria* as a case of eosinophilic meningitis in man diagnosed by immunofluorescence and Arthus hypersensitivity. 1974; 68(3): 223-228.
27. Moorhouse DE. *Dirofilaria immitis*: a case of human intra-ocular infection. Infection 1978; 6(4):192-3.
28. Tada I., Sakaguchi Y. and Eto K. *Dirofilaria* in abdominal cavity of a man in Japan. Am J Trop Med Hyg 1979; 28(6): 988-990.
29. Jariya P. and Sucharit S. *Dirofilaria repens* from the eyelid of a woman in Thailand. Am J Trop Med Hyg. 1983 Nov;32(6):1456-7.
30. Badha BP. and Sane SY. Human pulmonary dirofilariasis in India: a case report. J Trop Med Hyg. 1989; 92(6): 425-426.
31. Dissanaike AS., Bandara CD., Padmini HH., Ihhalamulla RL. and Naotunne TS. Recovery of a species of *Brugia*, probably *B. ceylonensis*, from the conjunctiva of a patient in Sri Lanka. Ann Trop Med Parasitol 2000; 94(1): 83-86.
32. Kim MK., Kom CH., Yeom BW., Choi SY. and Choi JS. The frist human case of hepatic dirofilariasis. J Korean Med Sci. 2002; 17(5): 686-690.
33. Foroulis CN., Khaldi L., Desimona N. and Kalafati G. Pulmanary dirofilariasis mimicking lung tumor with chest wall and mediastinal invasion. Thorac Cardiovas Surg 2005; 53(3)173-5.

ກາຄພນວກ

STAINING METHODS FOR MICROFILARIA

1. Giemsa stain (standard method)

- Dry the blood film (not less than 3 hours)
- Dehaemoglobinized for 2 minutes in tap water and allow to dry thoroughly.
- Fix the slide in methanol for 30 seconds.
- Add 2 ml of Giemsa stain to 100 ml of phosphate buffered solution, pH 7.2 (the amount of Giemsa may be increased depending on the batch of stain prepared).
- Pour the stain onto the slide and leave it for 1 hour.
- Wash the slide by pouring water to float the scum and continue until the stain is replaced with water.
- Stand the slide on one end to dry.

2. Giemsa stain (rapid method)

- Dry the blood film (for at least 30 minutes).
- Dehaemoglobinized for 2 minutes in tap water and allow to dry thoroughly.
- Re-wet the slide by dipping into water and place it flat on staining rack.
- Pour immediately a few drops of undiluted stain over the film to cover them for 30 seconds.
- Wash the films and decolourised with methanol for 30 seconds, and wash again.
- Re-strain the slide with undiluted stain for 90 minutes.
- Wash the slide under running water, dry it and mount in immersion oil.

3. Giemsa stain for innenkorper.

- Air-dry the slides for 24 - 48 hours.
- Dehaemoglobinized in water for 45 seconds to 1 minute and let it dry.
- Fix the slide in methanol for 30 seconds.
- Stain the slide with 3% Giemsa (3 ml Giemsa in 100 PBS pH 7.2) for 1 hour.
- Wash the slide as in Method 1.

4. Haematoxylin stain

- Dry the blood film (for at least 30 minutes).

- Dehaemoglobinized the film in water for 2 minutes and let it dry.
- Fix the film in methanol for 30 seconds and pour a few drops of concentrated Haematoxylin stain before the methanol dries up.
- Immediately warm the slide over a flame, without boiling, for 2 minutes.
- Wash with tap water, dry and mount in immersion oil.

ACID PHOSPHATASE

Slide : fixed

Stock solutions

A) Pararosanilin-HCL Stock

- Pararosanilin 1g
- Distilled water 20ml
- HCl Conc 5ml

The pararosanilin is dissolved in the distilled water and the hydrochloric acid is added. The solution is heated gently, cooled, filtered and stored in aliquots in a refrigerator.

B) Sodium Nitrite

- Sodium nitrite 2g
- Distilled water 50ml

This solution has to be prepared Fresh or made into 0.4ml aliquots and stored in the deep freeze.

C) Veronal-Acetate Buffer Stock

- Sodium Acetate (3H₂O) 3.88g
- Sodium Barbitone 5.88g
- Distilled water 200ml

D) Naphthol ASB1 Phosphate Stock

- Naphthol ASB1 Phosphate 50mg
- Dimethyl formamide 5ml

This is put into 0.5ml aliquots and stored in the deep freeze.

Preparation of incubating solution

- Pararosanilin - HCL (A) 0.4ml
- Sodium nitrite (40mg/ml) (B) 0.4ml

Add the pararosanilin drop by drop to the thawed sodium nitrite, shaking well after each addition until the solution is corn-coloured (leave to stand for at least 30 seconds).

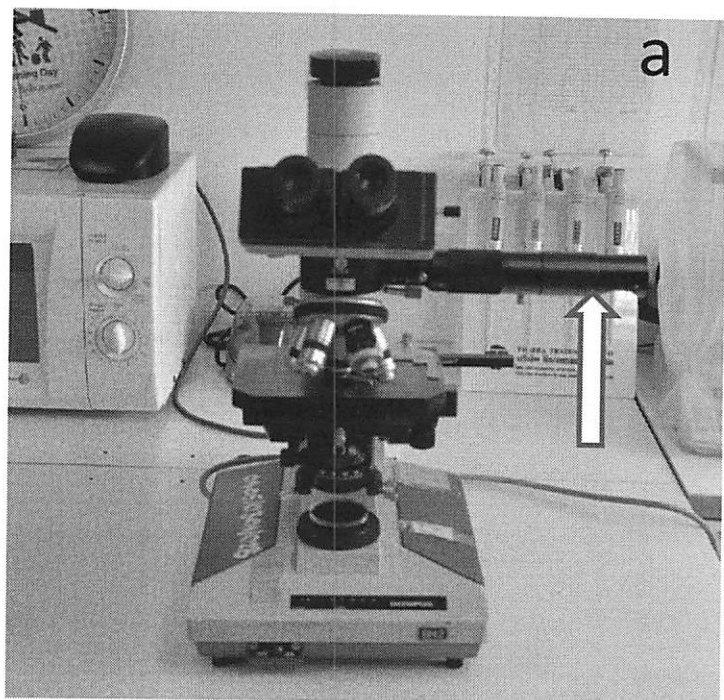
- Naphthol ASB1 phosphate (D) 0.5ml
- Veronal Acetate Buffer Stock (C) 2.5ml
- Distilled water 6.5ml ,Mix these together well and then add the pararosanilin/sodium nitrite solution. Adjust the pH to 4.7-5.0, filter and use immediately.

Method

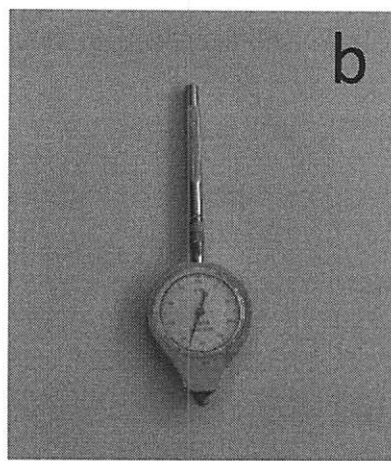
1. Incubate sections for 10-60 minutes at 37C
2. Wash well in distilled and then tap water
3. Counterstain, with 2% Methyl green for 15-30 seconds (haematoxylin can be used as an alternative)
4. Wash
5. Dehydrate, clear . Mount sections in DPX

Results

- Acid phosphatase activity - Red



ภาพ a : กล้องจุลทรรศน์ติด camera lucida เพื่อใช้คาดพิกัดตำแหน่งของวัตถุที่อยู่ในโจรฟิลารี



ภาพ b : Curvimeter เพื่อคำนวณระยะทาง

- 0 -